



Sciences Economiques & Sociales de la Santé
& Traitement de l'Information Médicale

sesstim.univ-amu.fr

Florian GIROND

Institut Pasteur de Madagascar, Antananarivo, Madagascar - UMR 228 ESPACE-DEV (IRD, UAG, UM, UR), Station SEAS-OI, Saint-Pierre, La Réunion, France - Southern Africa Malaria Elimination Eight (E8) Secretariat Initiative

Mise en place d'un système d'information géographique pour la détection précoce et la prédiction des épidémies de paludisme à Madagascar

décembre 2017



Cliquez ici pour voir l'intégralité des ressources associées à ce document



Mise en place d'un système d'information géographique pour
la détection précoce et la prédiction des épidémies de
paludisme à Madagascar

Florian Girond

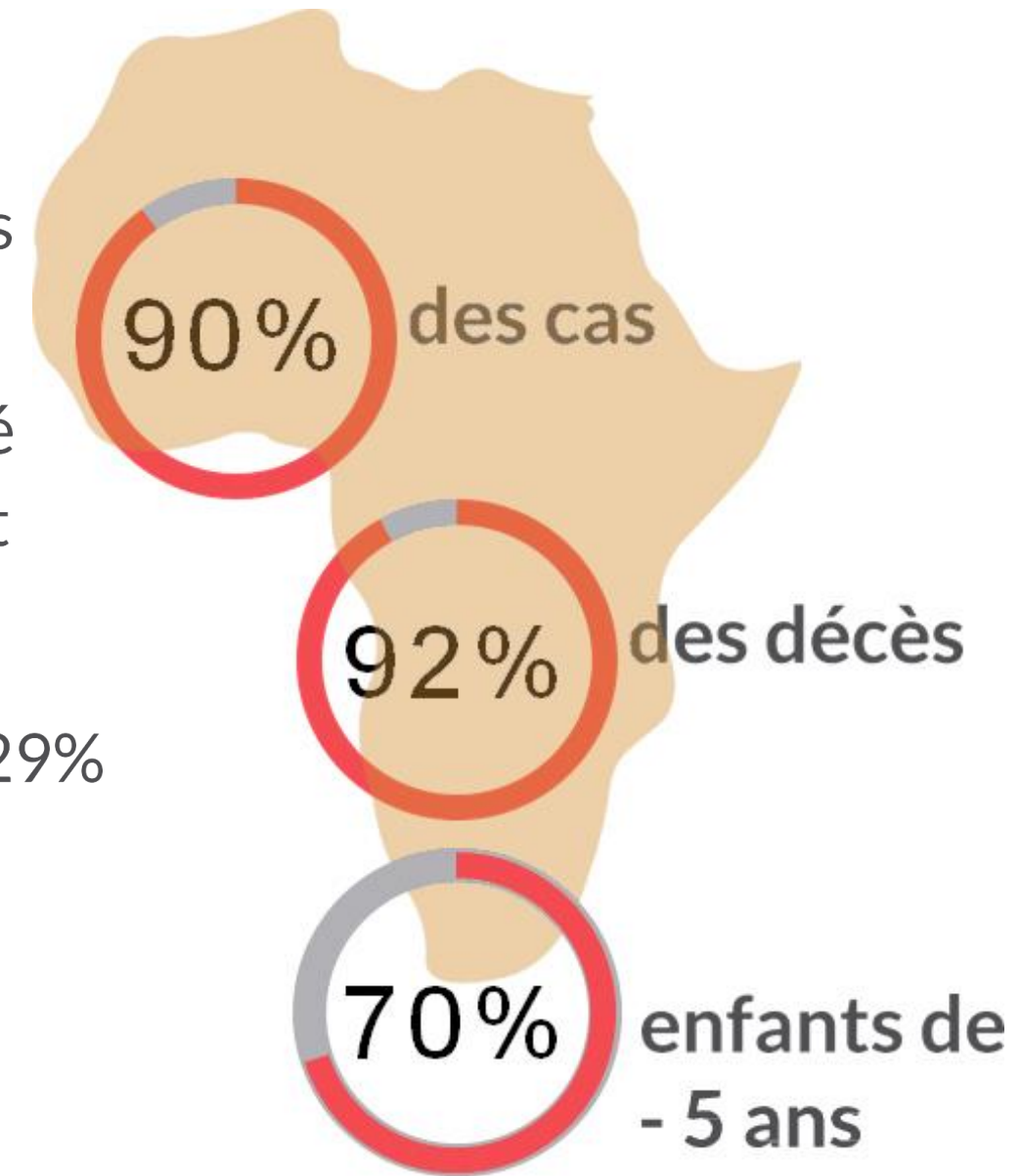
Institut Pasteur de Madagascar
Southern Africa Malaria Elimination 8



Le paludisme, problème de santé publique



- Maladie parasitaire à transmission vectorielle
- En 2015, environ 212 millions de cas et 429 000 décès
- Au niveau mondial, l'incidence du paludisme a diminué de 41 % entre 2000 et 2015, et de 21 % entre 2010 et 2015.
- Baisse du taux de mortalité par paludisme de plus de 29% à l'échelle mondiale depuis 2010.



Les interventions de contrôle du paludisme

La lutte anti-vectorielle

MILD

Moustiquaires imprégnées d'insecticide à effet longue durée

CAID

Campagne d'aspersion intra-domiciliaire d'insecticide à effet rémanent

Traitement et diagnostic

TDR

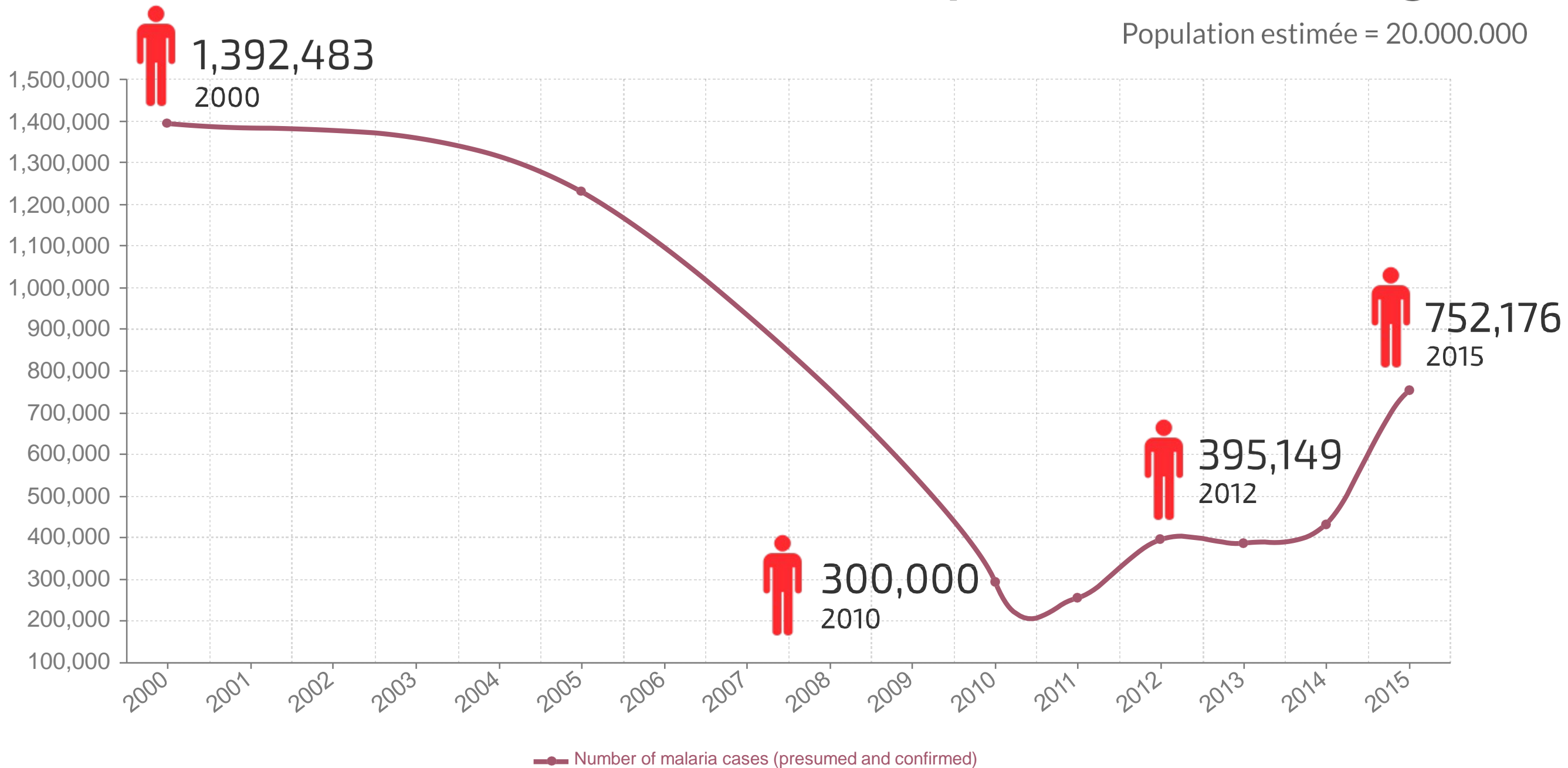
Test de Diagnostic Rapide

ACT

Thérapies combinées à base d'artémisinine

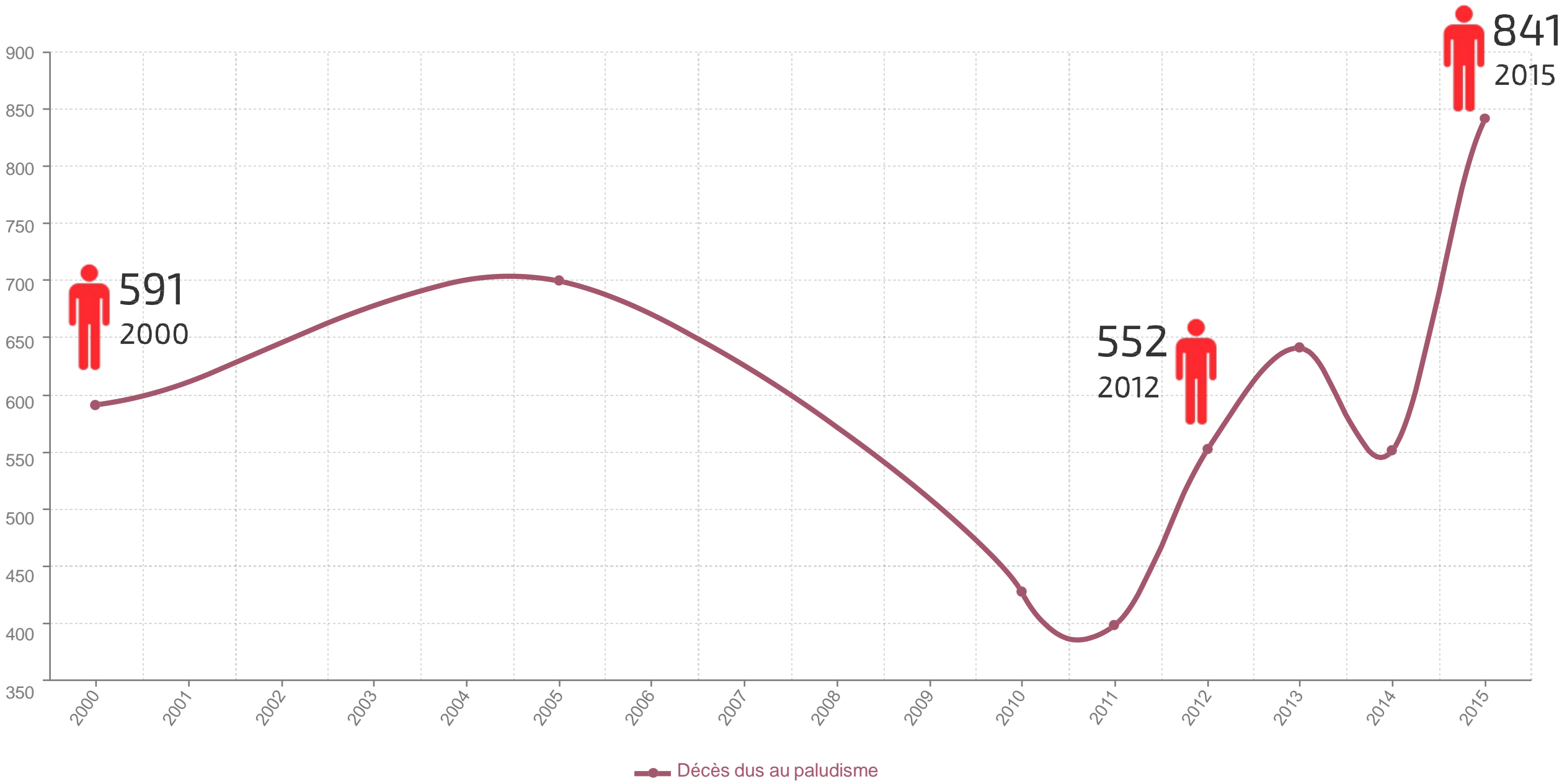
Nombre de cas de paludisme à Madagascar

Population estimée = 20.000.000



Source: World Malaria Report 2016

Nombre de décès dus au paludisme à Madagascar



Source: World Malaria Report 2016

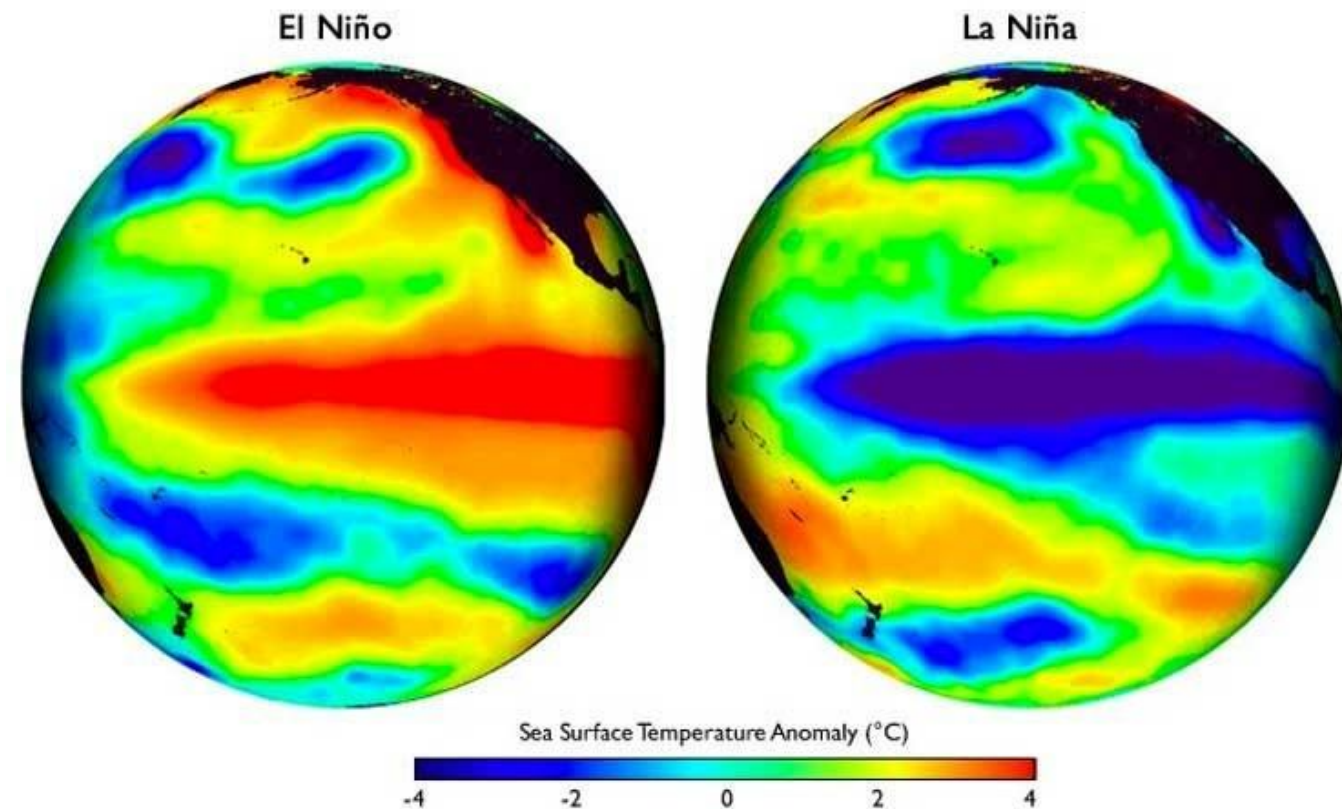
Objectifs

- Mise en place d'un système d'alerte précoce des épidémies de paludisme
- Evaluer les capacités prédictives du système dans un cadre opérationnel
- Evaluer la durabilité de l'efficacité des campagnes de distribution de masse de
MILD

Systeme d'alerte precoce

- Systeme de detection precoce
- Systeme d'alerte precoce
- Systeme de prediction a long terme

Ordre programmatique



Systeme de detection precoce

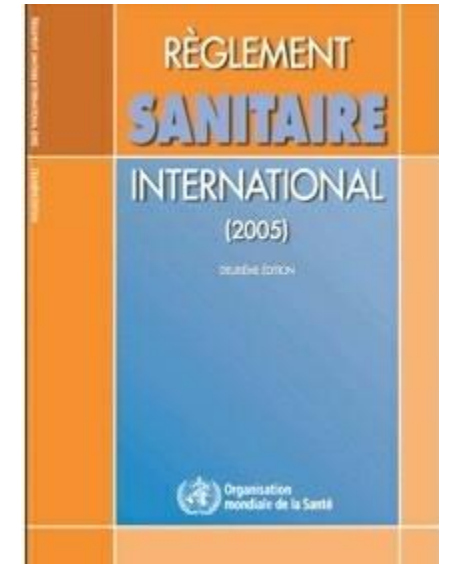
Systeme de surveillance du paludisme

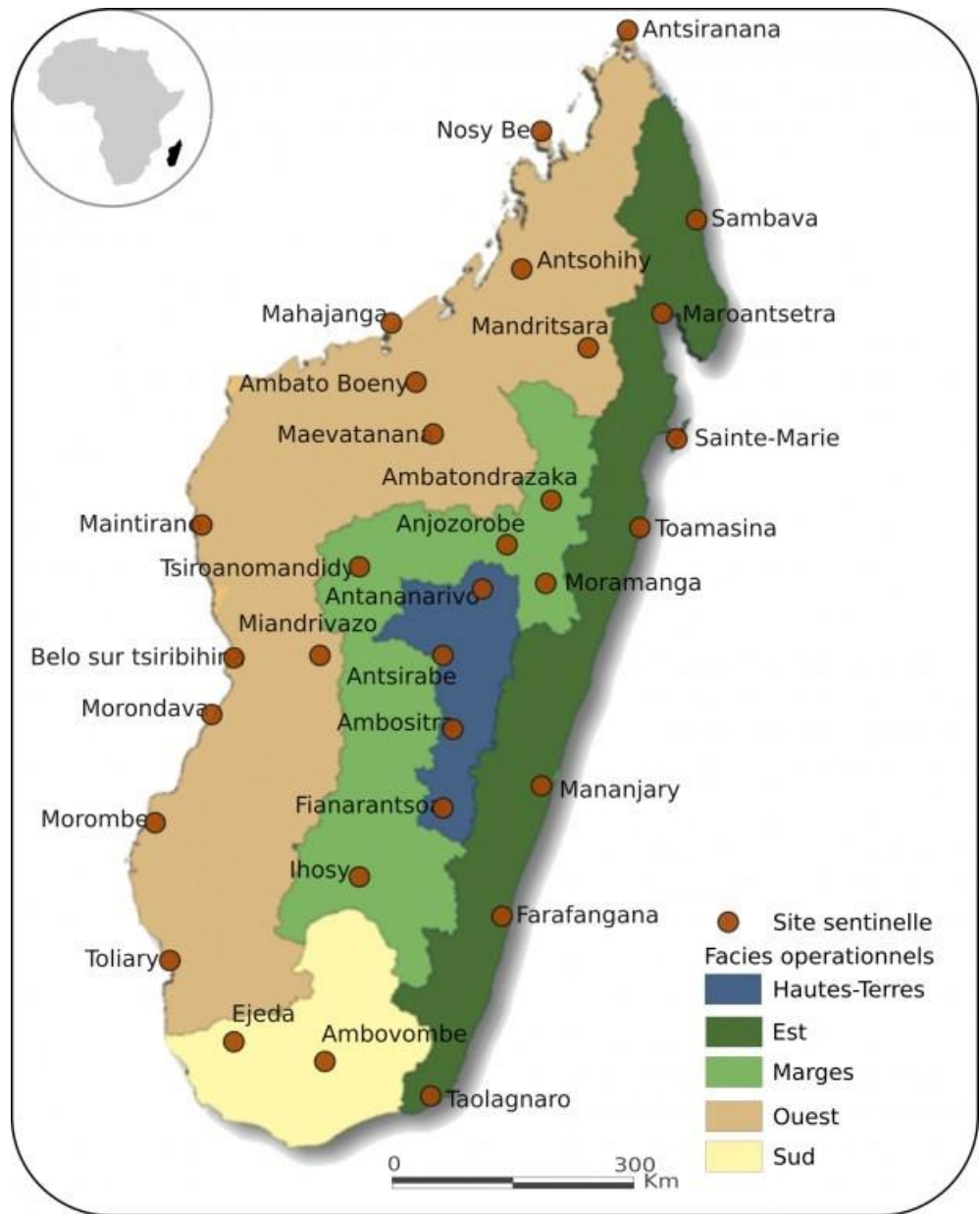
- Changements dans l'incidence de la maladie au niveau local en s'appuyant sur des systemes de surveillance de sante publique.
- Mise a disposition et analyse des donnees de haute qualite dans des delais adaptes
- Les systemes de surveillance de sante publique sont, dans de nombreux pays, faibles et fragmentes.
- A defaut d'un systeme national de surveillance efficace, ces systemes peuvent s'appuyer sur des systemes de surveillance sentinelle.

Systeme de surveillance sentinelle à Madagascar

Menaces pour la santé publique de maladies infectieuses au niveau mondial

- SRAS en 2003
- Dengue et Chikungunya en 2006
- Systèmes de surveillance et d'intervention efficaces
- Collaboration entre le gouvernement de Madagascar et l'Institut Pasteur de Madagascar (IPM)
- Réseau de surveillance sentinelle afin d'améliorer la détection et la prise en charge rapide des maladies à potentiel épidémique





Systeme de surveillance sentinelle

Centres de santé pré-existants

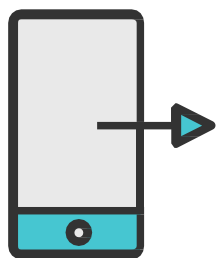
Implémentation progressive depuis 2007

2007 : 6 sites

2011 : 34 sites

- 13 sites faciès de transmission de l'Ouest
- 7 dans l'Est
- 5 dans les marges
- 7 dans les Hautes-Terres Centrales (HTC)
- 2 dans le Sud
- Saison de faible transmission (Juin à Octobre)
- Saison de moyenne transmission (Novembre à Mars)
- Saison de forte transmission (Avril à Mai)
- ★ Pic de pluviométrie (Janvier - Février)

Notifications des sites sentinelles



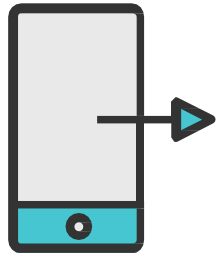
Données météorologiques et environnementales



MILD
CAID



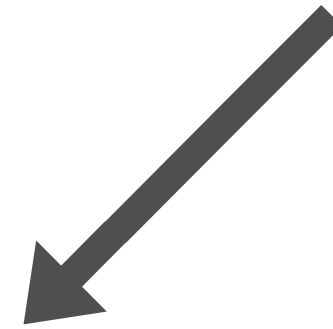
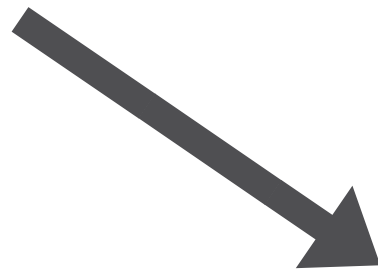
Notifications des sites sentinelles



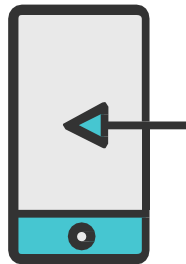
Données météorologiques et environnementales



LLINs
IRS



Rapport automatisé
envoyé par SMS

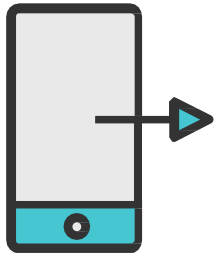


Analyse automatique de
détection des tendances et
des épidémies

Interface web
interactive



Notifications des sites sentinelles



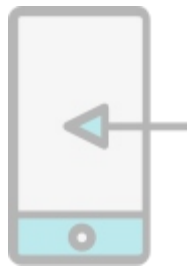
Données météorologiques et environnementales



LLINs
IRS

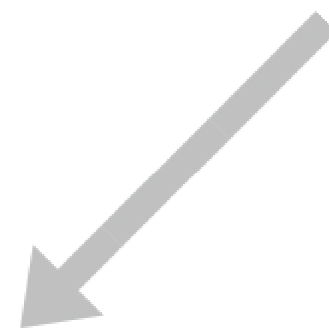
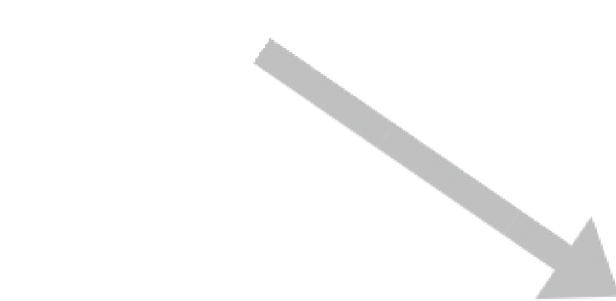


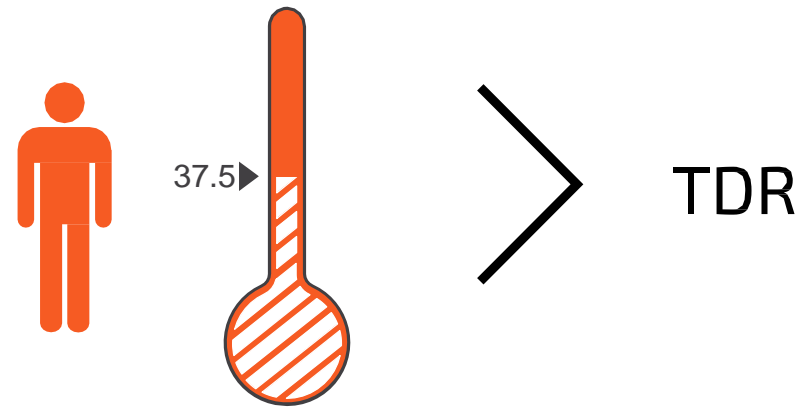
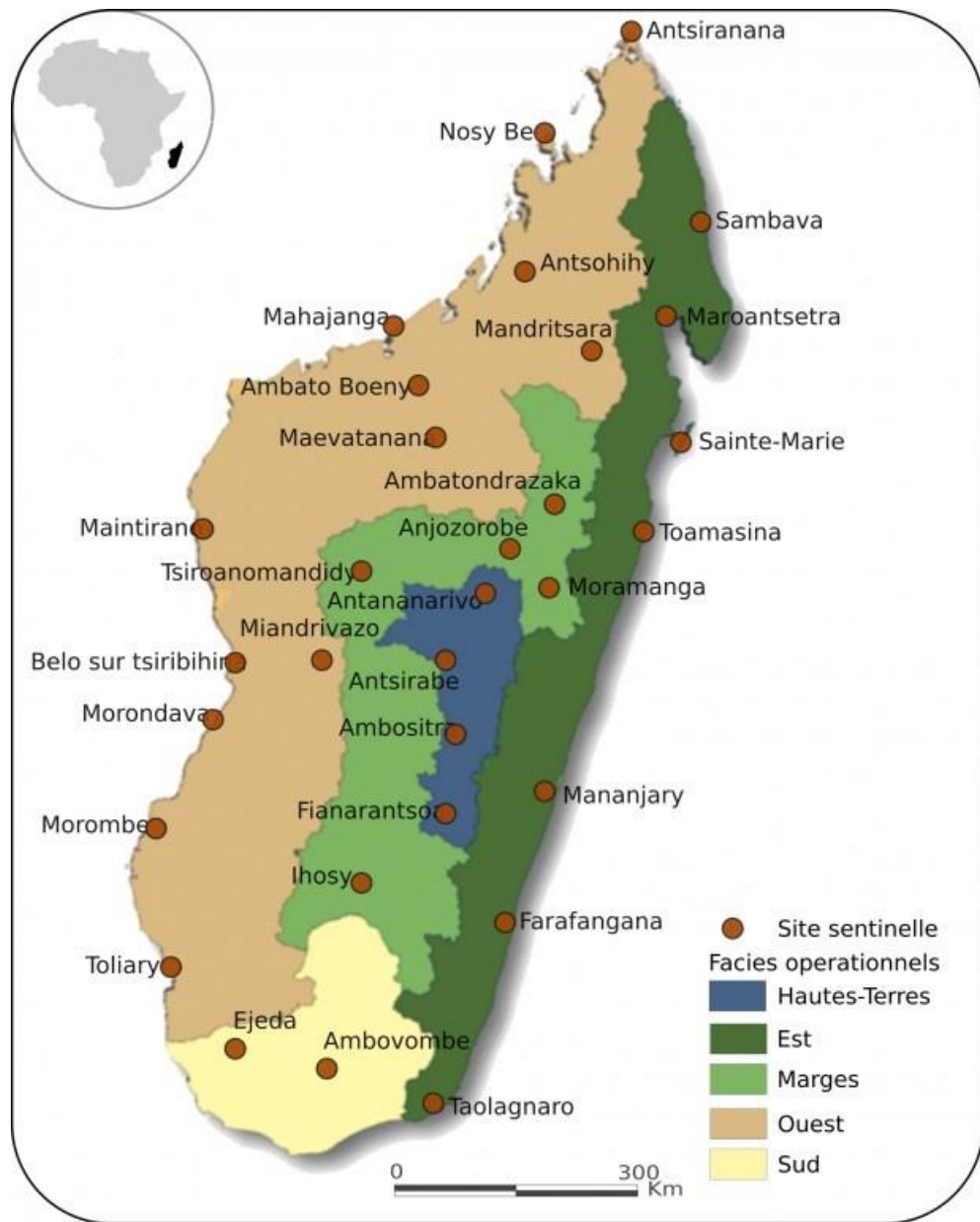
Rapport automatisé
envoyé par SMS



Analyse automatique de
détection des tendances et
des épidémies

Interface web
interactive

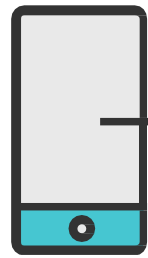




- Nombre de consultations
- Nombre de cas fébriles
- Nombre de tests de diagnostic rapide effectués
- Nombre de tests positifs

Transmission quotidienne de données par SMS

Sentinel disease
notifications



SMS

Smartphone Android

Formulaire de saisie

Limitation des erreurs de saisie

Flexibilité dans Ajout/Suppression de variables

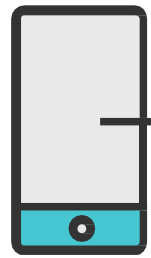
Envoi automatique des données formatées en SMS

Fluidification de la transmission de données

Mobile Health



Notifications des sites sentinelles

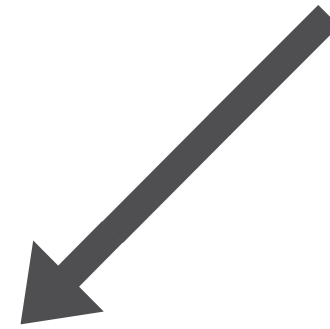
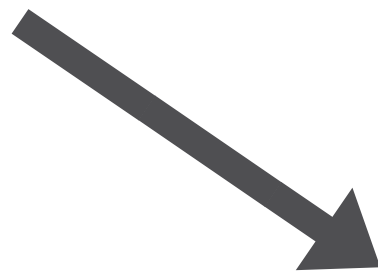


SMS

Données météorologiques et environnementales



LLINs
IRS

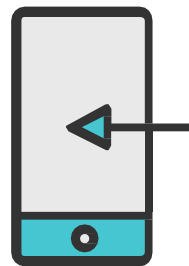


Analyse automatique de
détection des tendances et
des épidémies

Interface web
interactive



Rapport automatisé
envoyé par SMS



Sentinel disease notifications

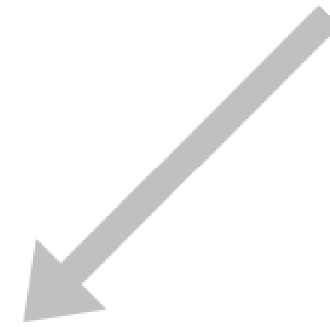
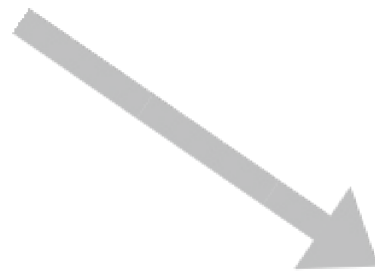


SMS

Données météorologiques et environnementales



LLINs
IRS

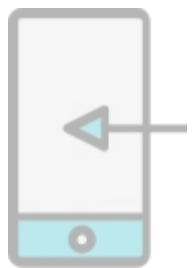


Analyse automatique de
détection des tendances et
des épidémies

Interface web
interactive



Rapport automatisé
envoyé par SMS



Téledétection

Données météorologiques et environnementales

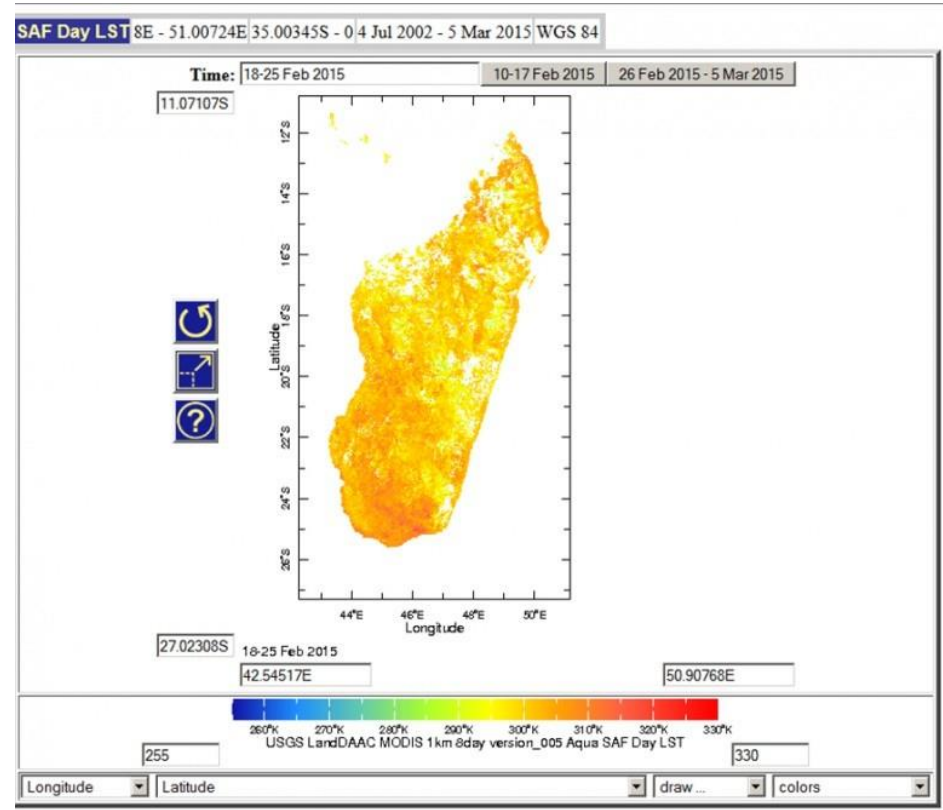
International Research Center for Climate and Society (IRI)



Température de jour et de nuit == MODIS 1km 8 jours

Normalized Difference Vegetation Index (NDVI) == MODIS à 250m Résolution spatiale, 16 jours

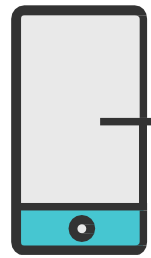
Précipitation estimée (RFE and ARC) from Climate Prediction Center / Famine Early Warning System (~10 Km).



Création d'un logiciel spécifique



Notifications des sites sentinelles

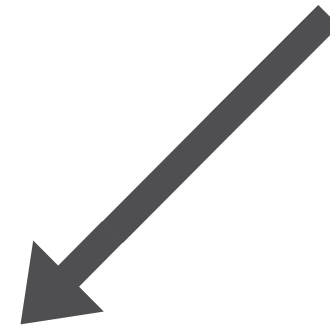
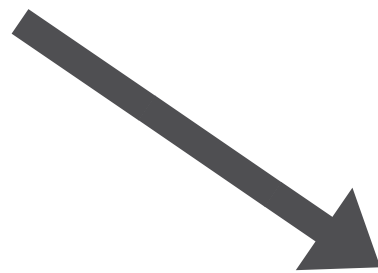


SMS

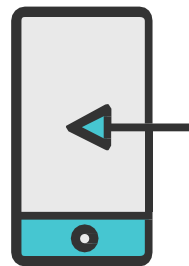
Données météorologiques et environnementales



LLINs
IRS



Rapport automatisé
envoyé par SMS

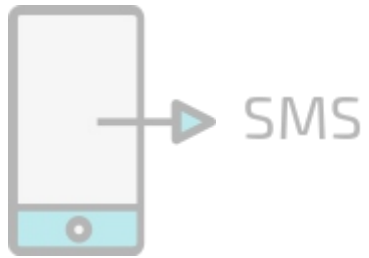


Analyse automatique de
détection des tendances et
des épidémies

Interface web
interactive



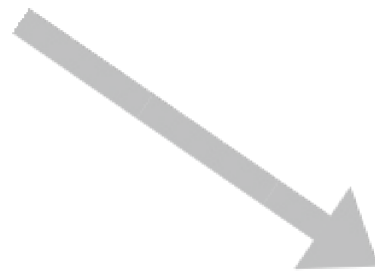
Sentinel disease notifications



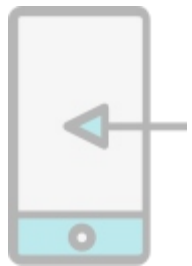
Données météorologiques et environnementales



LLINs
IRS



Rapport automatisé
envoyé par SMS



Analyse automatique de
détection des tendances et
des épidémies

Interface web
interactive



Intervention de contrôle du paludisme

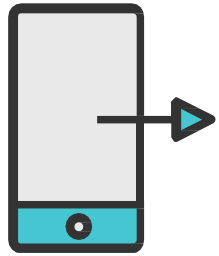
LLINs
IRS

Création d'une base de données sur CAID et MILD

Date de début de distribution par site sentinelle



Notifications des sites sentinelles

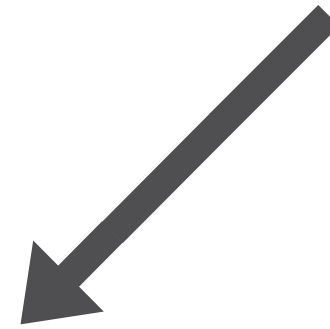
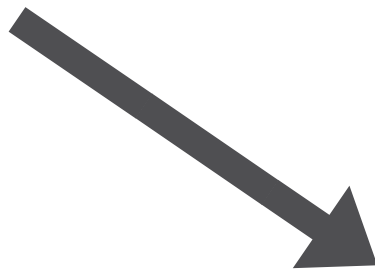


SMS

Données météorologiques et environnementales



LLINs
IRS

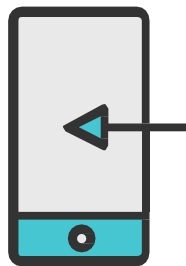


Analyse automatique de
détection des tendances et
des épidémies

Interface web
interactive



Rapport automatisé
envoyé par SMS



Algorithmes de détermination des seuils d'alerte

- Type d'épidémies à détecter
- Les connaissances à leur sujet
- La disponibilité des données historiques
- Les données à utiliser ou à exclure
- Des traitements à réaliser
- La nature des données



Orientation dans le choix des méthodes

Plusieurs algorithmes ont ainsi été développés, présentant selon les situations des facilités d'utilisation mais également des limites à prendre en compte.

Algorithmes de détermination des seuils d'alerte

75th Percentile

Cullen

Cumulative-SUM

Pente

Méthodes recommandées par l'Organisation Mondiale de la Santé

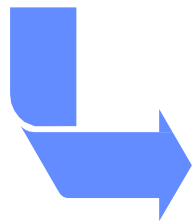
Algorithmes de détermination des seuils d'alerte

75th Percentile

Cullen

Cumulative-SUM

Pente



Méthode simple
Ne nécessite pas d'ordinateur
5 années de données historiques

Alerte : Nombre de cas supérieur à la deuxième valeur la plus élevée pour chaque mois parmi les cinq ans.

Algorithmes de détermination des seuils d'alerte

75th Percentile

Cullen

Cumulative-SUM

Pente



5 années de données historiques
Moyenne hebdomadaire + 2 écarts-types
Exclusion des années épidémiques

Alerte : Nombre de cas hebdomadaire supérieur à ce seuil calculé

Algorithmes de détermination des seuils d'alerte

75th Percentile

Cullen

Cumulative-SUM

Pente

5 années de données historiques
Moyenne hebdomadaire (sur 3 semaines) + 2 écarts-types
Exclusion des années épidémiques



Alerte : Nombre de cas hebdomadaire supérieur à ce seuil calculé pendant 3 semaines consécutives

Algorithmes de détermination des seuils d'alerte

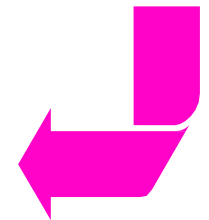
75th Percentile

Cullen

Cumulative-SUM

Pente

Pas de données historiques nécessaires
Doublement du nombre de cas pendant 3 semaines consécutives



Algorithmes de détermination des seuils d'alerte

75th Percentile

Cullen

Cumulative-SUM

Pente

90th percentile

Alerte est définie comme un nombre de cas hebdomadaire dépassant le seuil du 90th percentile pendant 3 semaines consécutives

Méthodes statistiques de détection

Les méthodes statistiques de détection ont donc pour fonction d'isoler les signaux suspects à investiguer.

Traite le signal et produit en sortie une détermination de la présence ou de l'absence d'un événement (ici, une épidémie).

- Réactive
- Sensible
- Spécifique

Méthodes statistiques de détection

Les méthodes statistiques de détection ont donc pour fonction d'isoler les signaux suspects à investiguer

- Réactive
- Sensible
- Spécifique

Donner l'alerte assez tôt pour permettre les mesures de contrôle

Méthodes statistiques de détection

Les méthodes statistiques de détection ont donc pour fonction d'isoler les signaux suspects à investiguer

- Réactive
- Sensible
- Spécifique

Capacité de la méthode à donner un signal positif en cas d'une épidémie

Méthodes statistiques de détection

Les méthodes statistiques de détection ont donc pour fonction d'isoler les signaux suspects à investiguer

- Réactive
- Sensible
- Spécifique

Capacité de la méthode à donner un signal négatif en absence d'épidémie

Méthodes statistiques de détection

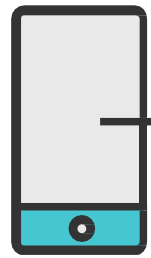
Les méthodes statistiques de détection ont donc pour fonction d'isoler les signaux suspects à investiguer

- Réactive
- Sensible
- Spécifique

Capacité de la méthode à donner un signal négatif en absence d'épidémie

Les méthodes de détection peuvent souvent être ajustées pour augmenter ou diminuer la sensibilité.

Sentinel disease notifications

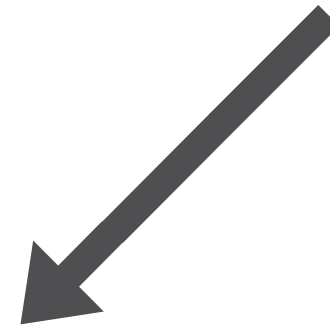
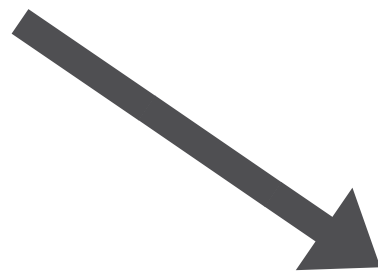


SMS

Satellite weather data



LLINs
IRS

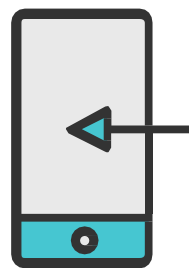


Automatic analysis to detect trends and alerts (outbreak detection)

Interactive web interface



Automatic feedback Report sent by SMS



Alert Thresholds

Algorithms:

- Percentile
- MinSan
- C-SUM
- RDT+/fever Indicator

About algorithm

An alert is triggered when a week malaria cases exceeds selected value (below) of percentile of the whole chronological series of a site. The 90th percentile is the value such that 90% of the time series values are below it (and therefore 10% are above).

Centile Value:

1 90 100

1 11 21 31 41 51 61 71 81 91 100

This option is intended to improve the specificity of the alert system

Number of consecutive weeks above threshold:

- 1
- 2
- 3
- 4

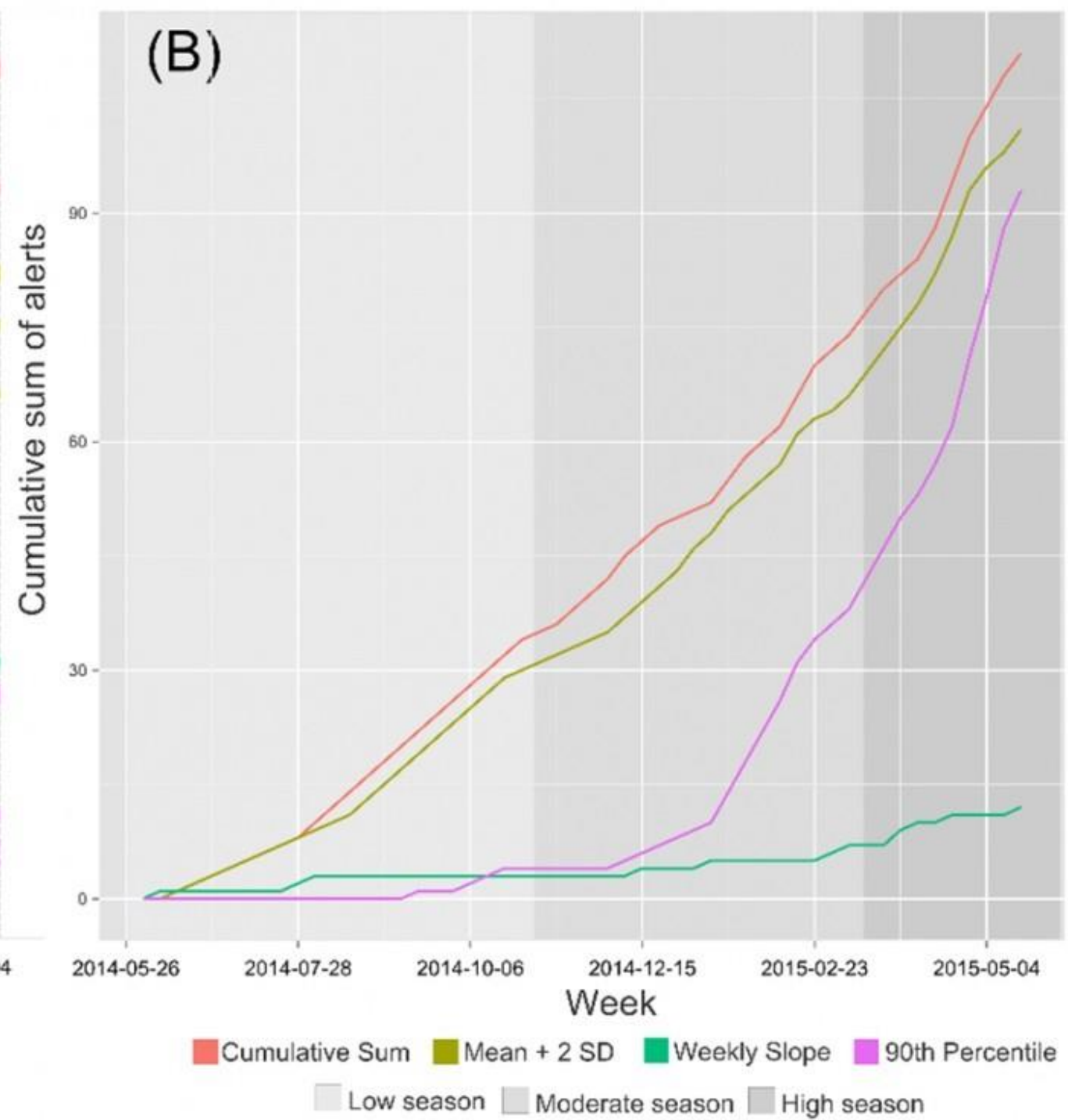
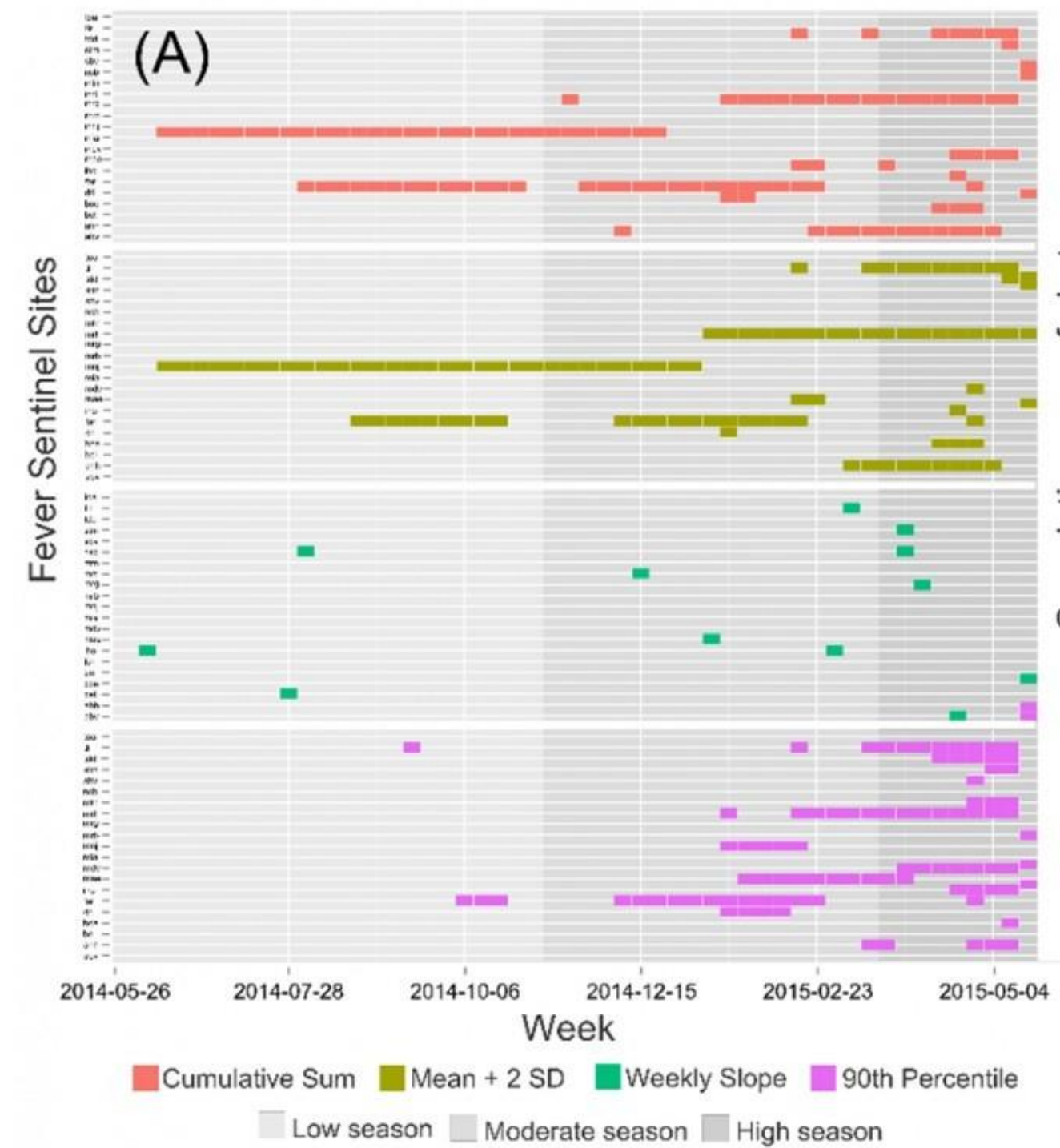


- Circle width is proportional to percentile value (click on map and see below)
- The number of reported malaria cases is below the threshold
- The number of reported malaria cases is above the threshold
- Click on a site to see malaria time series

Week : 2017_22

Click on the legend to hide/show variables

Click and drag on the graph to zoom



Alert Thresholds

Algorithms:

- Percentile
- MinSan
- C-SUM
- RDT+/fever Indicator

About algorithm

An alert is triggered when a week malaria cases exceeds selected value (below) of percentile of the whole chronological series of a site. The 90th percentile is the value such that 90% of the time series values are below it (and therefore 10% are above).

Centile Value:

1 90 100

1 11 21 31 41 51 61 71 81 91 100

This option is intended to improve the specificity of the alert system

Number of consecutive weeks above threshold:

- 1
- 2
- 3
- 4



- Circle width is proportional to percentile value (click on map and see below)
- The number of reported malaria cases is below the threshold
- The number of reported malaria cases is above the threshold
- Click on a site to see malaria time series

Week : 2017_22

Click on the legend to hide/show variables

Click and drag on the graph to zoom

Alert Thresholds

Algorithms:

- Malaria cases
- MinSan
- Percentile
- C-SUM
- RDT+/fever indicator

Please select data aggregation level (by facies)

National

Centile Value:

1 90 100

1 11 21 31 41 51 61 71 81 91 100

This option is intended to improve the specificity of the alert system

Number of consecutive weeks above threshold:

- 1
- 2
- 3
- 4

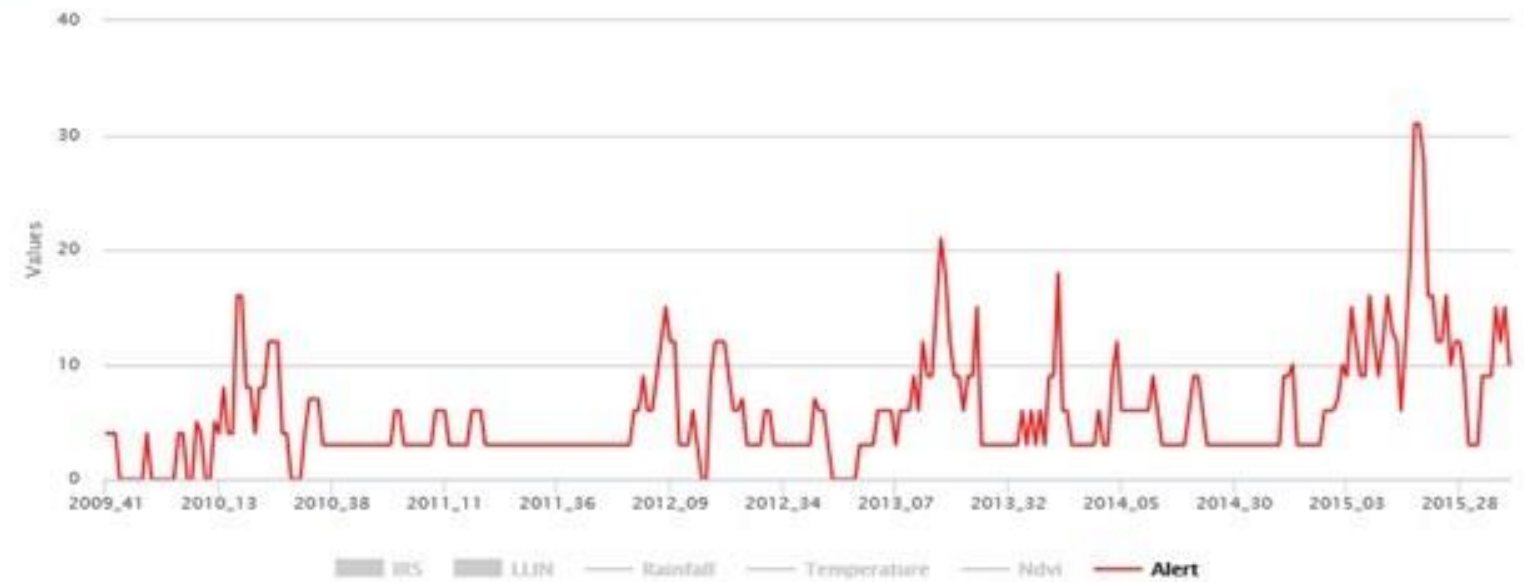
Number of years to display:

1 6 7

An alert is triggered when a week malaria cases exceeds selected value (below) of percentile of the whole chronological series of a site. The 90th percentile is the value such that 90% of the time series values are below it (and therefore 10% are above)

Map Graph Level_Plot Forecasting

Percentile



Click on the legend to hide/show variables

Click and drag on the graph to zoom

Legend

Alert, is proportion of site in alert across selected facies in the side panel

Rainfall, African Rainfall Estimation (RFE) is produced by NOAA-CPC

NDVI, is a normalized difference vegetation index (NDVI) produced by MODIS

Temperature, Land Surface temperature is an estimation of near surface temperature, produced by MODIS

IRS, proportion of sites that received a IRS

LLIN, proportion of sites that received a LLIN

Alert Thresholds

Algorithms:

- Malaria cases
- MinSan
- Percentile
- C-SUM
- RDT+/fever Indicator

Please select data aggregation level (by facies)

National

Centile Value:



This option is intended to improve the specificity of the alert system

Number of consecutive weeks above threshold:

- 1
- 2
- 3
- 4

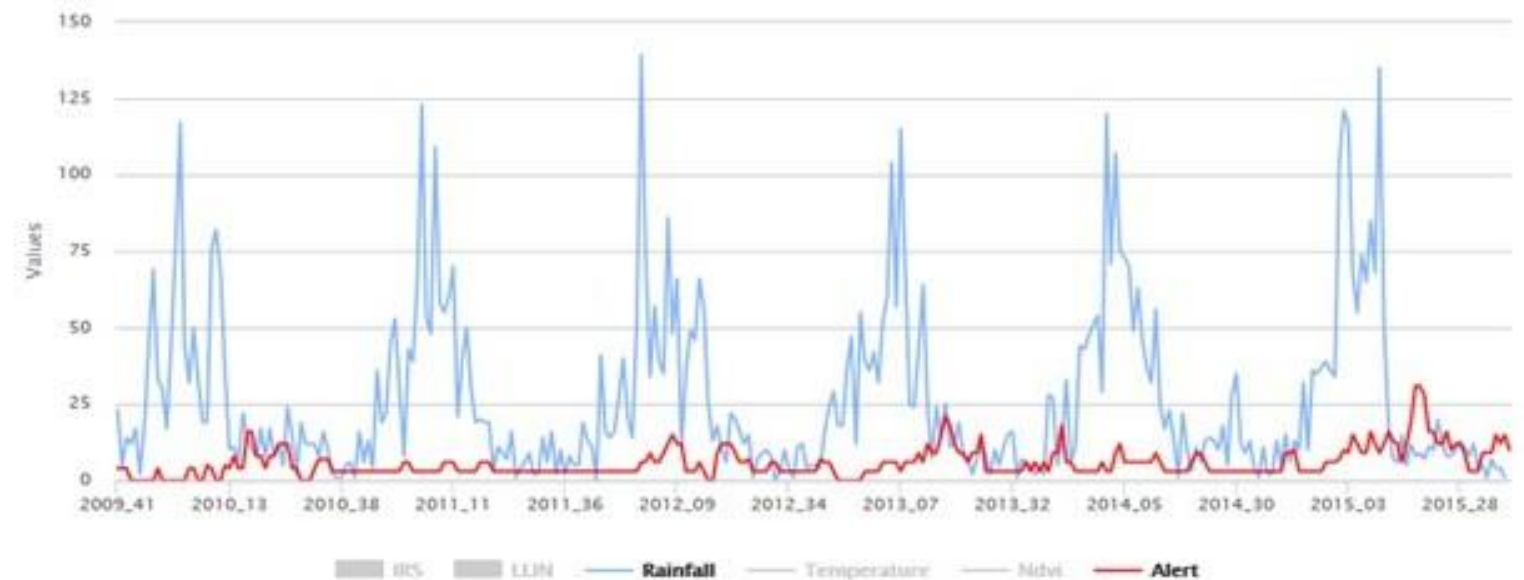
Number of years to display:



An alert is triggered when a week malaria cases exceeds selected value (below) of percentile of the whole chronological series of a site. The 90th percentile is the value such that 90% of the time series values are below it (and therefore 10% are above)

Map Graph Level_Plot Forecasting

Percentile



Click on the legend to hide/show variables

Click and drag on the graph to zoom

Legend

Alert, is proportion of site in alert across selected facies in the side panel.

Rainfall, African Rainfall Estimation (RFE) is produced by NOAA-CPC

NDVI, is a normalized difference vegetation index (NDVI) produced by MODIS

Temperature, Land Surface temperature is an estimation of near surface temperature, produced by MODIS

IRS, proportion of sites that received a IRS

LLIN, proportion of sites that received a LLIN

Alert Thresholds

Algorithms:

- Malaria cases
- MinSan
- Percentile
- C-SUM
- RDT+/fever indicator

Please select data aggregation level (by facies)

National

Centile Value:

1 90 100

1 10 21 21 41 51 61 71 81 91 100

This option is intended to improve the specificity of the alert system

Number of consecutive weeks above threshold:

- 1
- 2
- 3
- 4

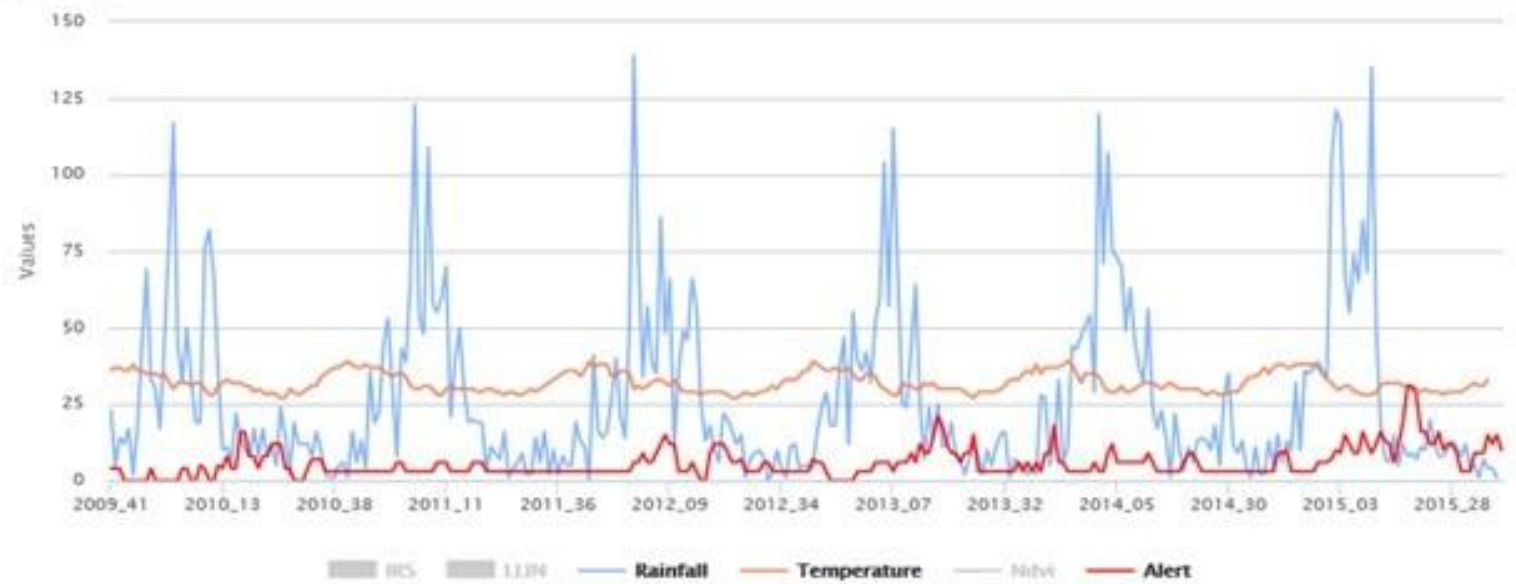
Number of years to display:

1 6 7

An alert is triggered when a week malaria cases exceeds selected value (below) of percentile of the whole chronological series of a site. The 90th percentile is the value such that 90% of the time series values are below it (and therefore 10% are above).

Map Graph Level_Plot Forecasting

Percentile



Click on the legend to hide/show variables.

Click and drag on the graph to zoom

Legend

Alert, is proportion of site in alert across selected facies in the side panel.

Rainfall, African Rainfall Estimation (RFE) is produced by NOAA-CPC

NDVI, is a normalized difference vegetation index (NDVI) produced by MODIS

Temperature, Land Surface temperature is an estimation of near surface temperature, produced by MODIS

RS, proportion of sites that received a RS

LLN, proportion of sites that received a LLN

Alert Thresholds

Algorithms:

- Malaria cases
- MinSan
- Percentile
- C-SUM
- RDT+/fever Indicator

Please select data aggregation level (by facies)

National

Centile Value:



This option is intended to improve the specificity of the alert system

Number of consecutive weeks above threshold:

- 1
- 2
- 3
- 4

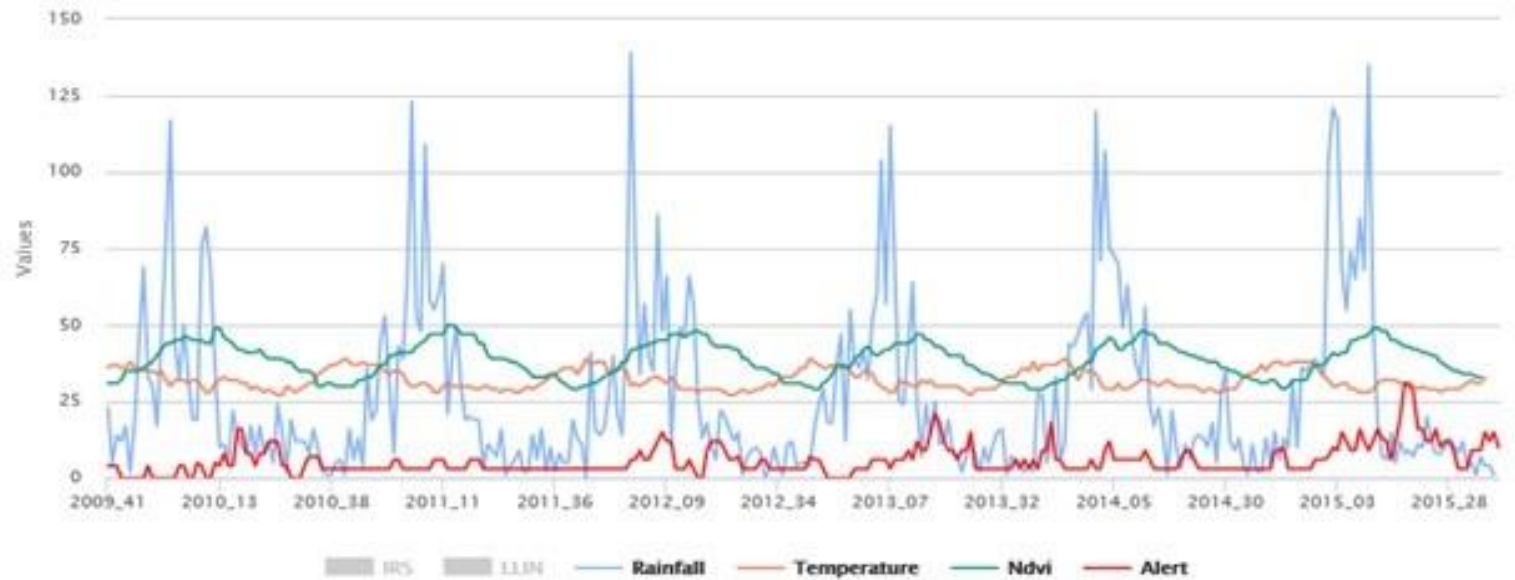
Number of years to display:



An alert is triggered when a week malaria cases exceeds selected value (below) of percentile of the whole chronological series of a site. The 90th percentile is the value such that 90% of the time series values are below it (and therefore 10% are above).

- Map
- Graph
- Level_Plot
- Forecasting

Percentile



Click on the legend to hide/show variables

Click and drag on the graph to zoom

Legend

Alert, is proportion of site in alert across selected facies in the side panel.

Rainfall, African Rainfall Estimation (RFE) is produced by NOAA-CPC

NDVI, is a normalized difference vegetation index (NDVI) produced by MODIS

Temperature, Land Surface temperature is an estimation of near surface temperature, produced by MODIS

IRS, proportion of sites that received a IRS

LLN, proportion of sites that received a LLN

Alert Thresholds

Algorithms:

- Malaria cases
- MinSan
- Percentile
- C-SUM
- RDT+/fever indicator

Please select data aggregation level (by facies)

National

Centile Value:



This option is intended to improve the specificity of the alert system

Number of consecutive weeks above threshold:

- 1
- 2
- 3
- 4

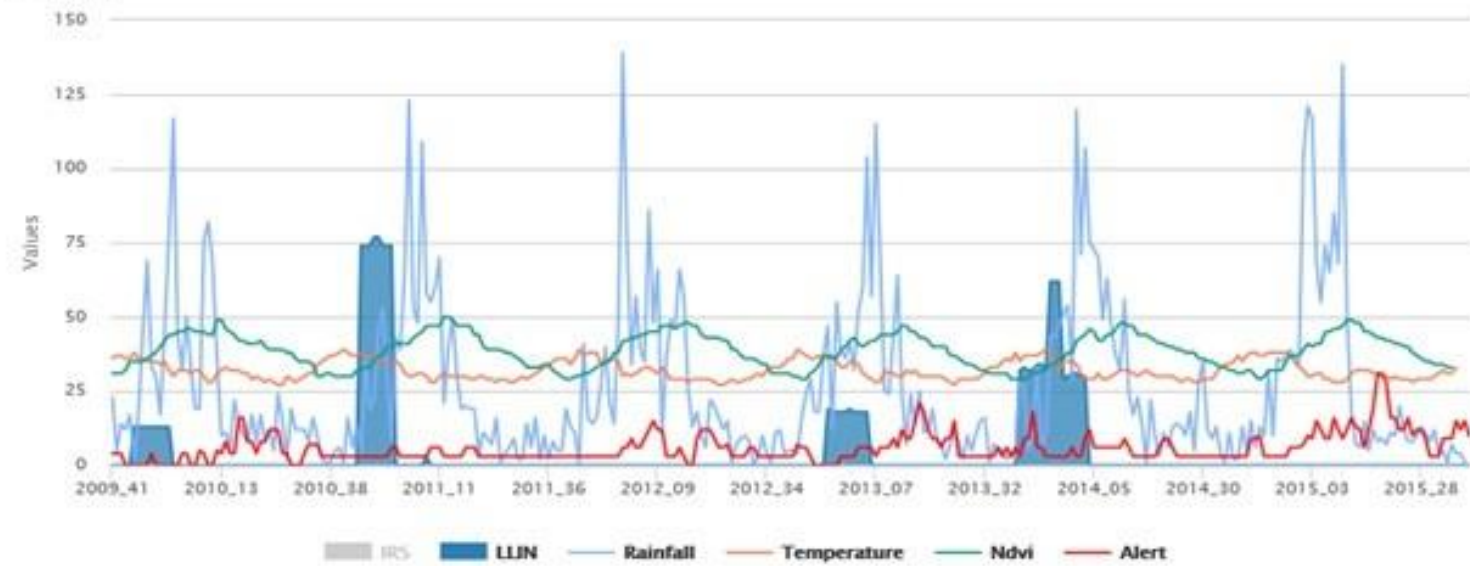
Number of years to display:



An alert is triggered when a week malaria cases exceeds selected value (below) of percentile of the whole chronological series of a site. The 90th percentile is the value such that 90% of the time series values are below it (and therefore 10% are above).

Map Graph Level_Plot Forecasting

Percentile



Click on the legend to hide/show variables

Click and drag on the graph to zoom

Legend

Alert, is proportion of site in alert across selected facies in the side panel.

Rainfall, African Rainfall Estimation (RFE) is produced by NOAA-CPC

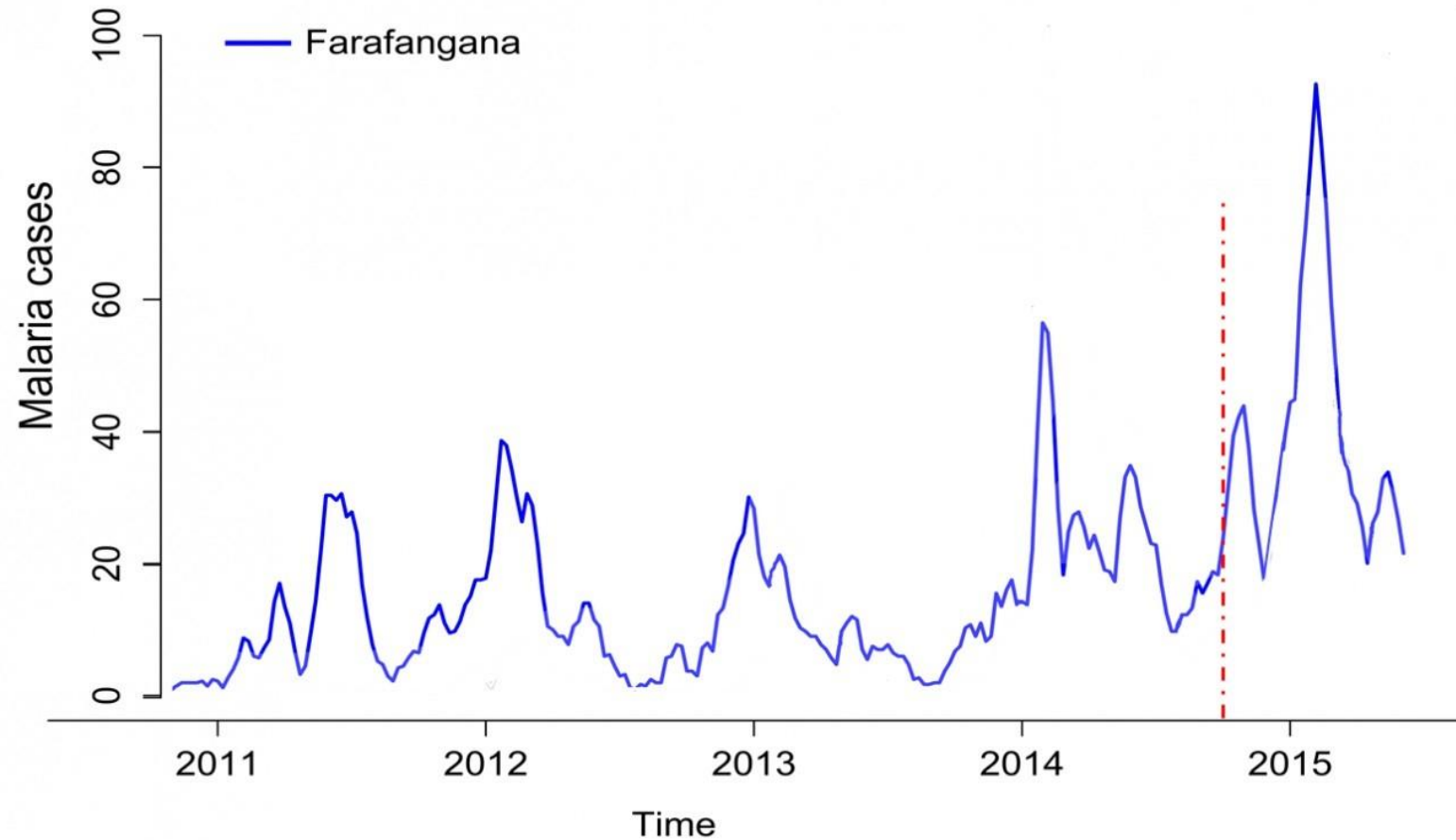
NDVI, is a normalized difference vegetation index (NDVI) produced by MODIS

Temperature, Land Surface temperature is an estimation of near surface temperature, produced by MODIS

IRS, proportion of sites that received a IRS

LLIN, proportion of sites that received a LLIN

Epidémie de paludisme détectée en Novembre 2014



Utilisation de la méthode de détection basée sur 90th percentile

- Nombre historiquement élevé du nombre de cas de paludisme 6 mois avant la période haute transmission
- Nombre historiquement élevé du nombre de cas de paludisme 3 mois avant le pic attendu des précipitations
- Suspicion de rupture de stock en ACT

Alert Thresholds

Algorithms:

- Malaria cases
- MinSan
- Percentile
- C-SUM
- RDT+/fever indicator

Please select data aggregation level (by facies)

National

Centile Value:

1 11 21 31 41 51 61 71 81 91 100

1 30 100

This option is intended to improve the specificity of the alert system.

Number of consecutive weeks above threshold:

- 1
- 2
- 3
- 4

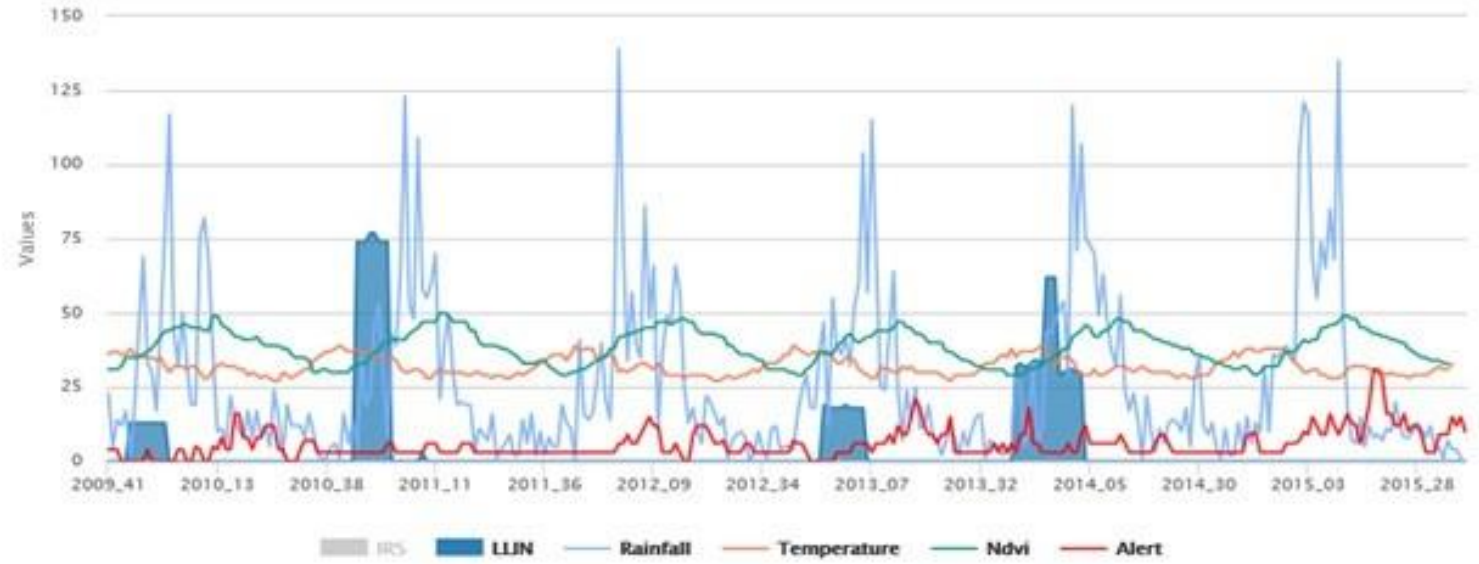
Number of years to display:

1 3 6 7

An alert is triggered when a week malaria cases exceeds selected value (below) of percentile of the whole chronological series of a site. The 90th percentile is the value such that 90% of the time series values are below it (and therefore 10% are above).

Map Graph Level_Plot Forecasting

Percentile



Click on the legend to hide/show variables

Click and drag on the graph to zoom

Legend

Alert, is proportion of site in alert across selected facies in the side panel.

Rainfall, African Rainfall Estimation (RFE) is produced by NOAA-CPC

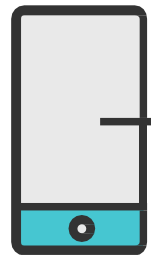
NDVI, is a normalized difference vegetation index (NDVI) produced by MODIS

Temperature, Land Surface temperature is an estimation of near surface temperature, produced by MODIS

IRS, proportion of sites that received a IRS

LLIN, proportion of sites that received a LLIN

Sentinel disease notifications

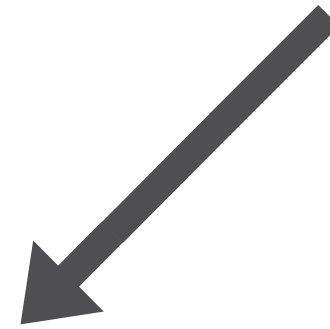
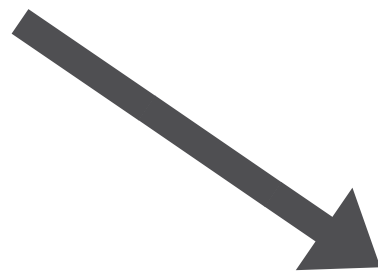


SMS

Satellite weather data



LLINs
IRS

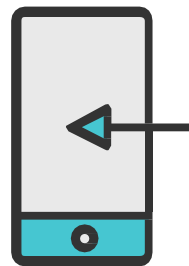


Automatic analysis to detect trends and alerts (outbreak detection)

Interactive web interface



Automatic feedback Report sent by SMS



Alert Thresholds

Algorithms:

- Malaria cases
- MinSan
- Percentile
- C-SUM
- RDT+/fever indicator

Please select data aggregation level (by facies)

National

Centile Value:



This option is intended to improve the specificity of the alert system

Number of consecutive weeks above threshold:

- 1
- 2
- 3
- 4

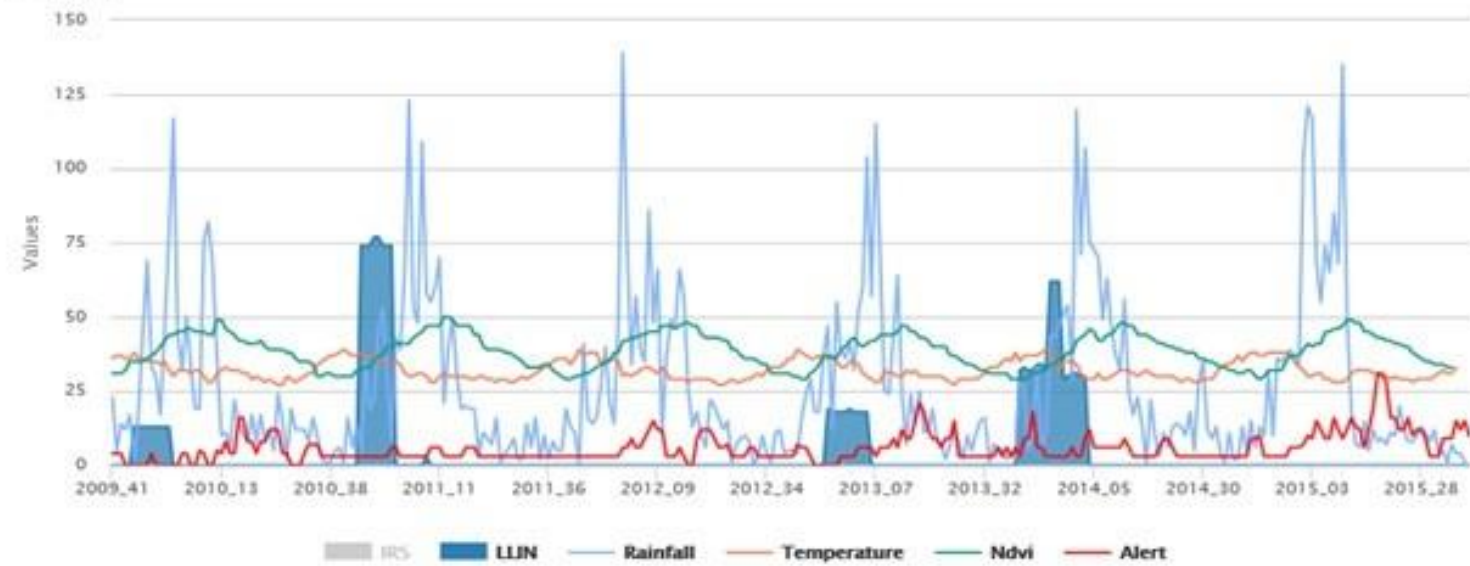
Number of years to display:



An alert is triggered when a week malaria cases exceeds selected value (below) of percentile of the whole chronological series of a site. The 90th percentile is the value such that 90% of the time series values are below it (and therefore 10% are above).

Map Graph Level_Plot Forecasting

Percentile



Click on the legend to hide/show variables

Click and drag on the graph to zoom

Legend

Alert, is proportion of site in alert across selected facies in the side panel.

Rainfall, African Rainfall Estimation (RFE) is produced by NOAA-CPC

NDVI, is a normalized difference vegetation index (NDVI) produced by MODIS

Temperature, Land Surface temperature is an estimation of near surface temperature, produced by MODIS

IRS, proportion of sites that received a IRS

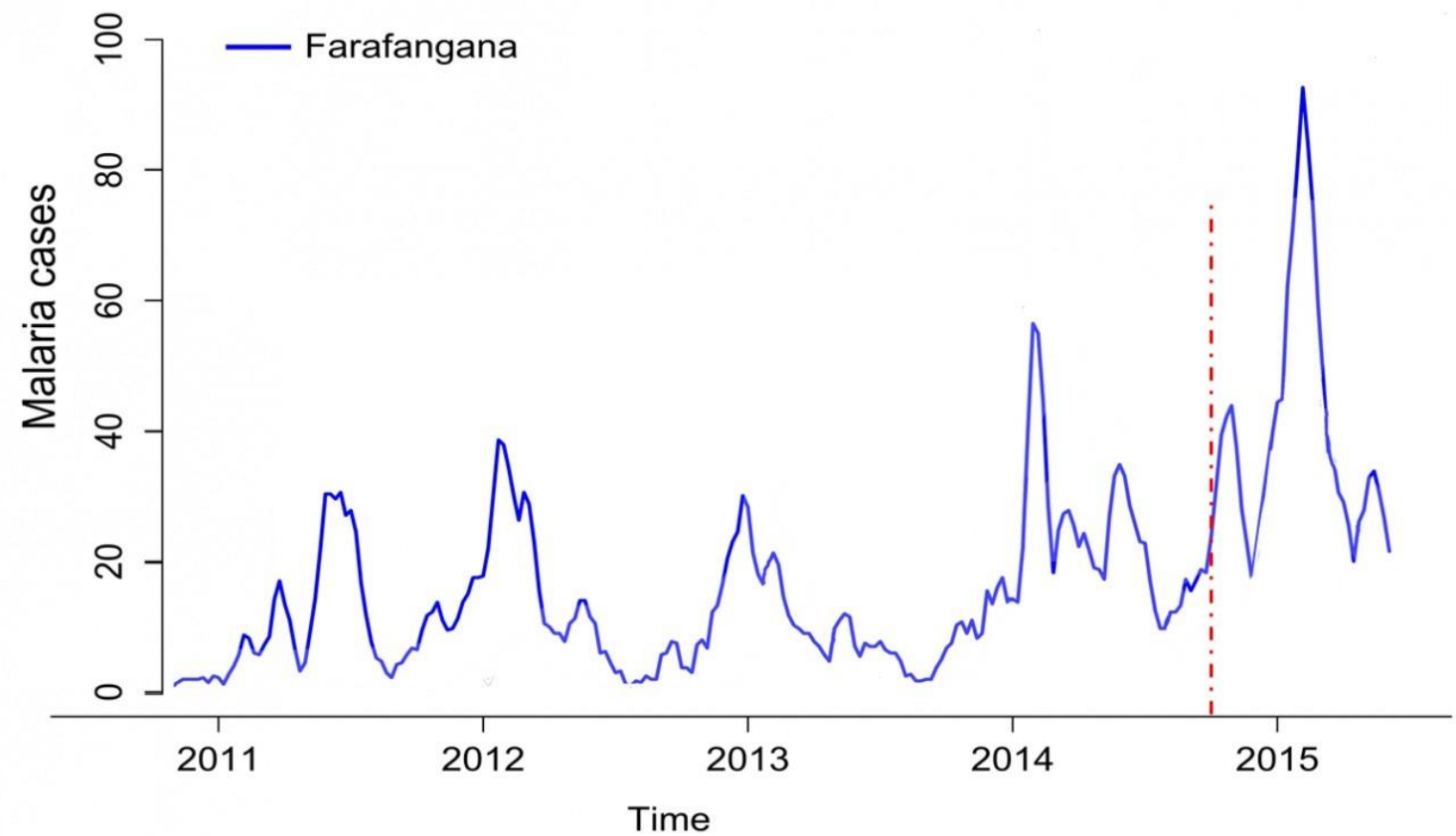
LLIN, proportion of sites that received a LLIN

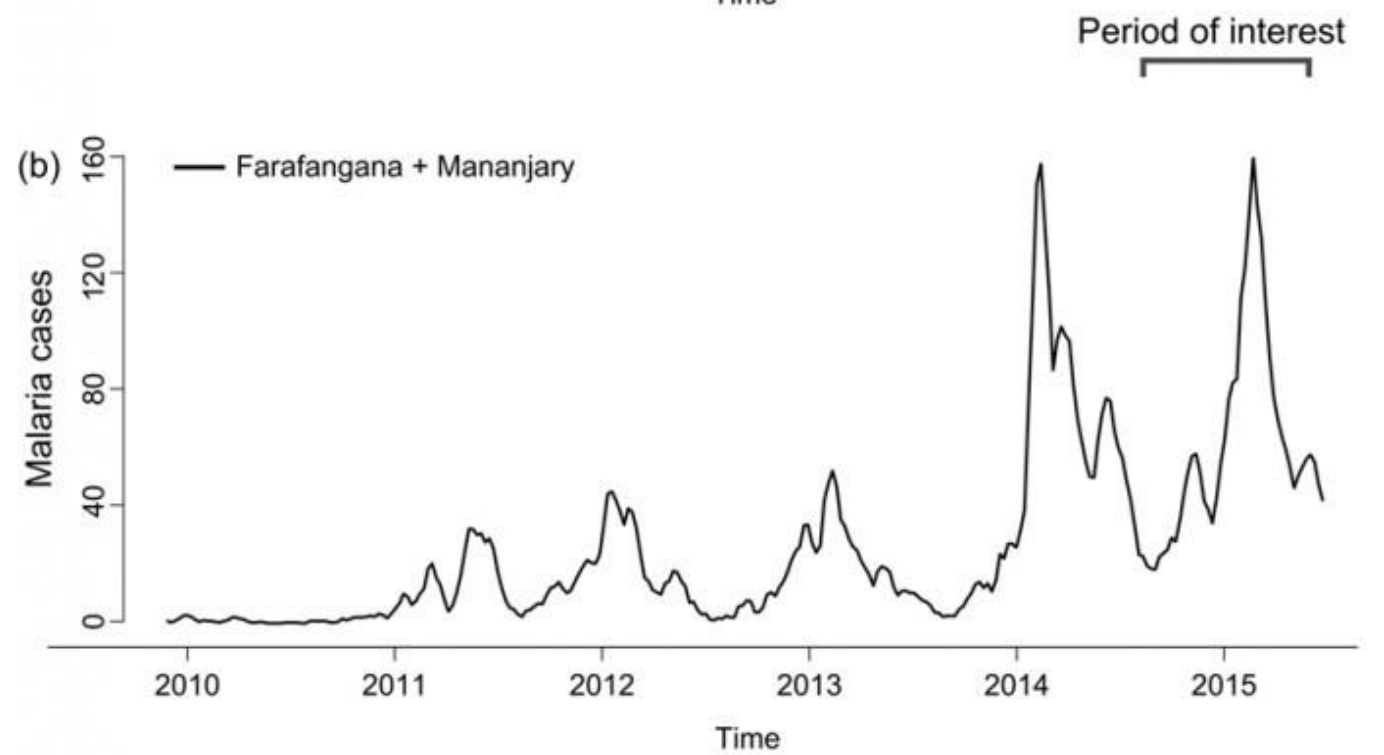
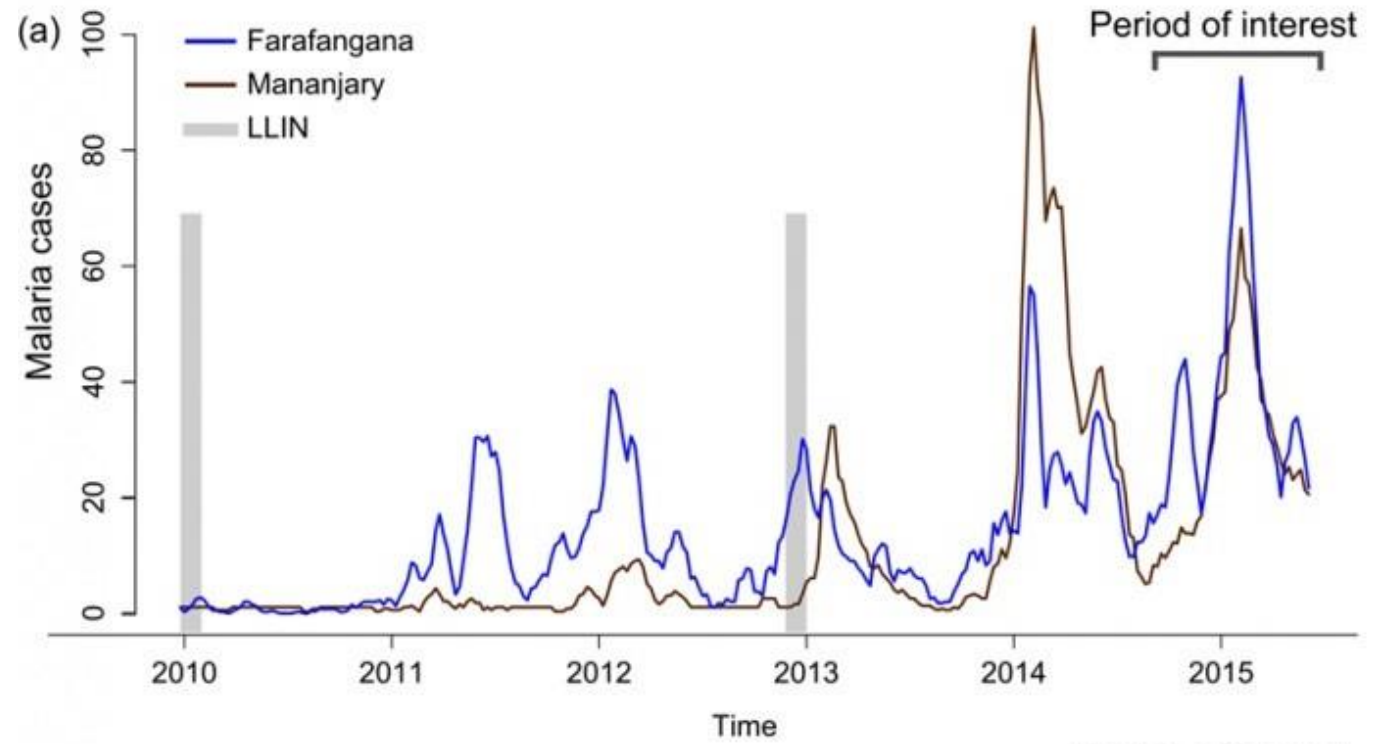
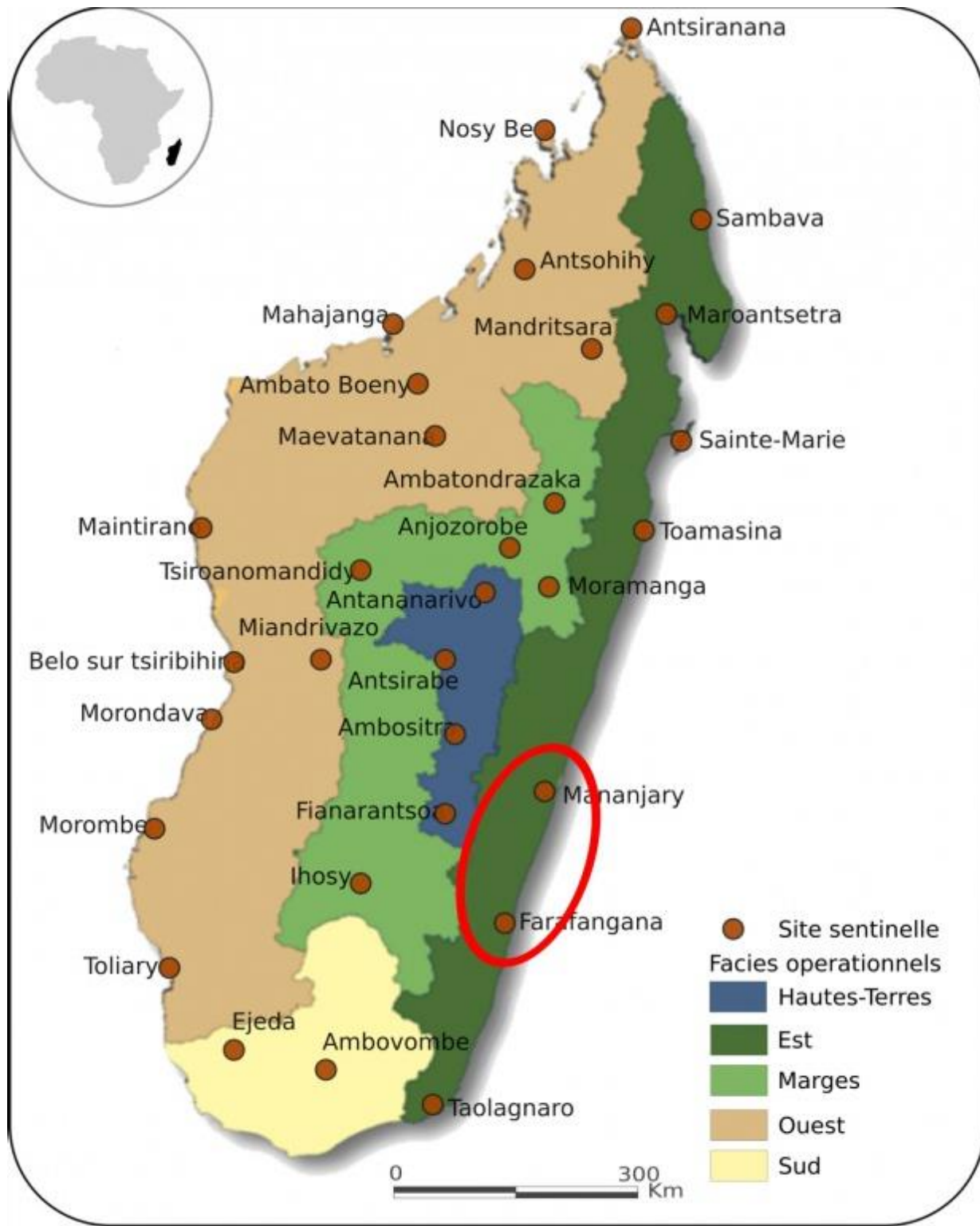
Systeme d'alerte precoce (prédiction)

Objectif :

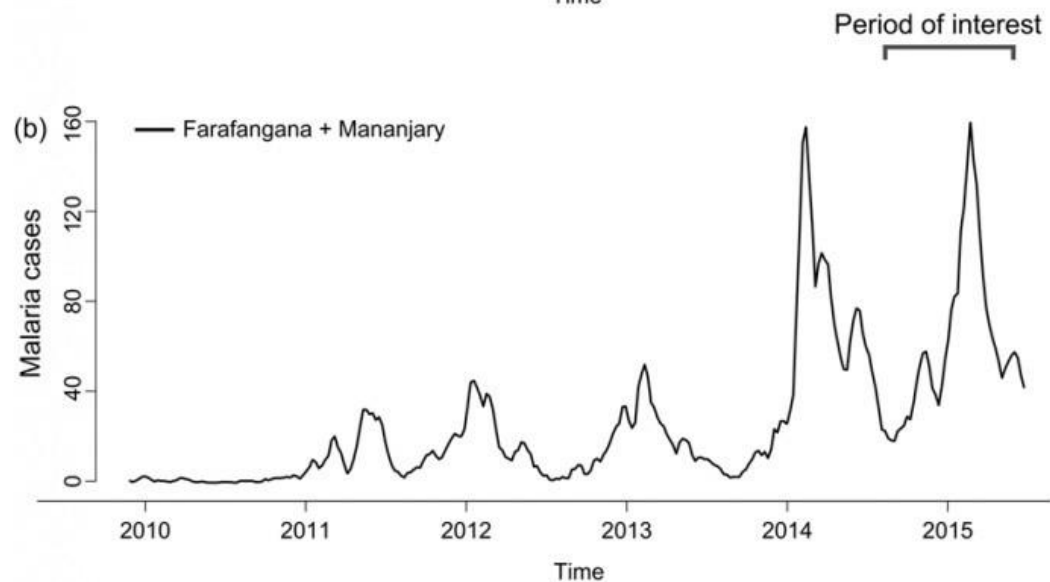
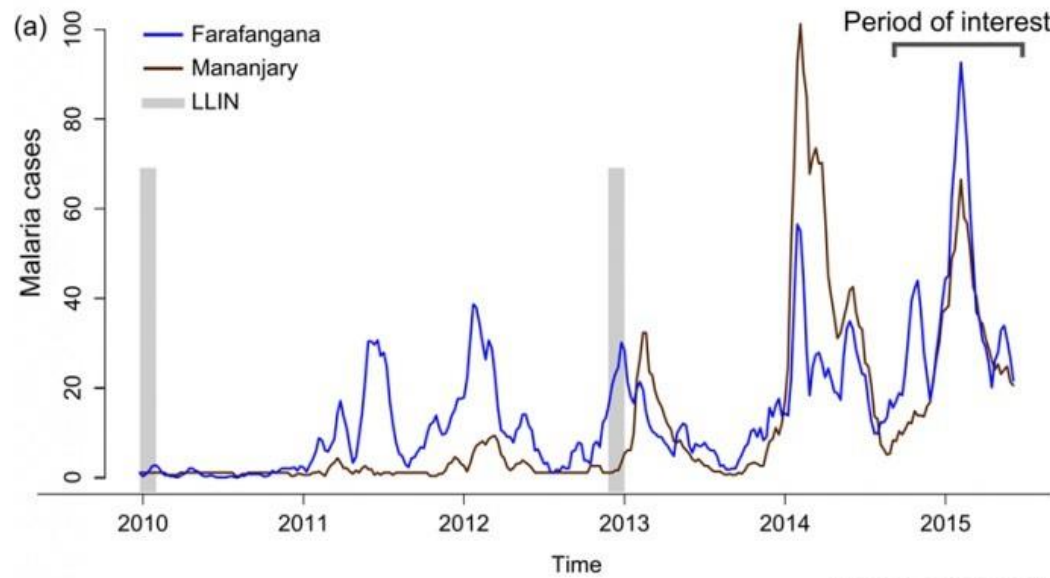
Evaluer la capacité prédictive d'un modèle de manière prospective

- Notifications des sites sentinelles
- Intervention de contrôle (MILD)
- Données météorologiques issues de la télédétection

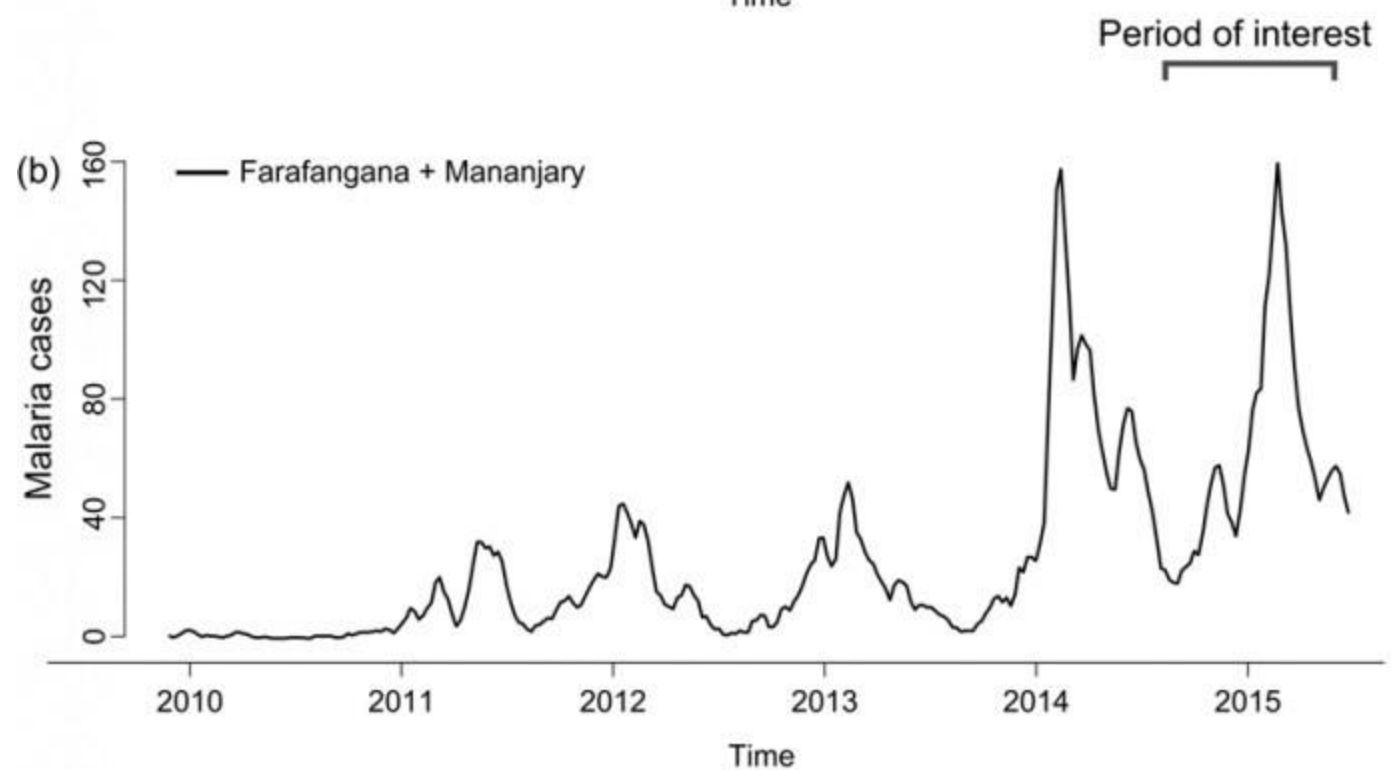
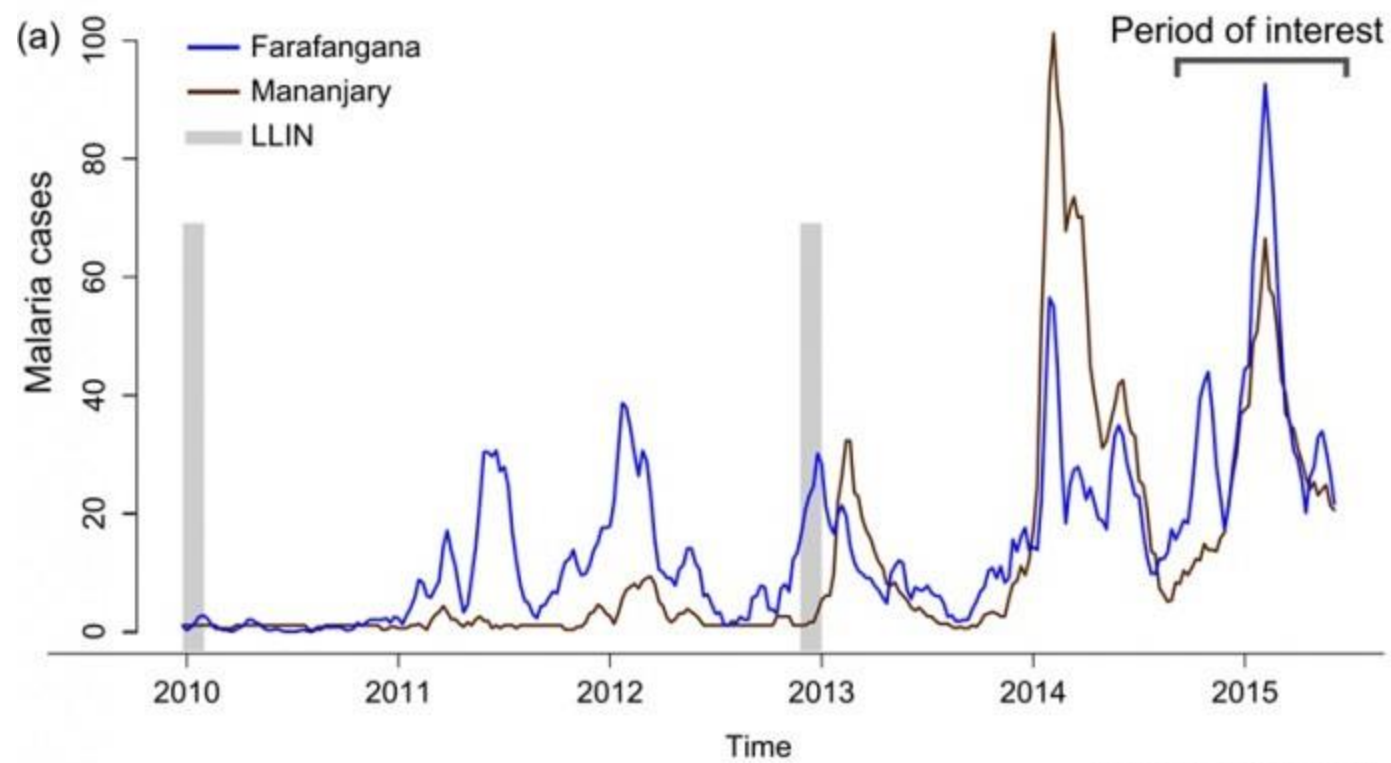




Systeme d'alerte precoce (prédiction)

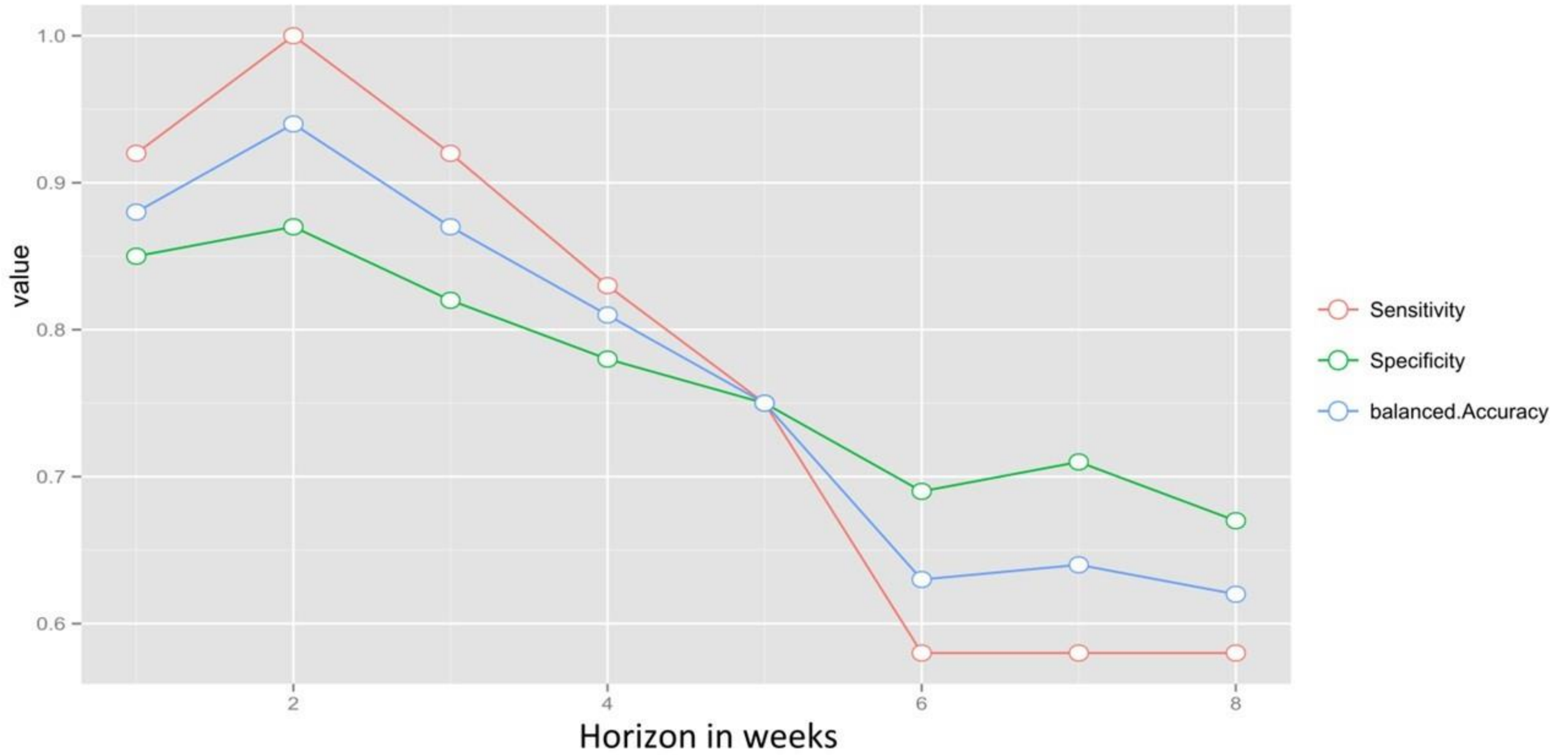


- Définir les délais d'association entre variables exogènes et nombre de cas
- Période de post-distribution de MILD
- <52 semaines
- >52 semaines et < 104 semaines
- >104 semaines
- Fonction auto.arima (Rob J Hyndman) package forecast R
- Association significative Cas de paludisme - Précipitations (retardées de 8 semaines)
- Distributions de masse de moustiquaire étaient associées significativement aux cas de paludisme

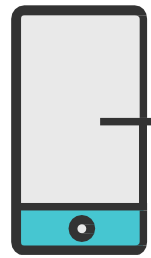


- Entraînement du modèle de 2009-12-21 à 2015-02-16.
- Utilisation des dernières 52 semaines pour période de test (one-step-ahead forecast)
- 16 alertes sur la période de 52 semaines
- Évaluation de la performance prédictive estimée par une matrice de confusion (% alertes prédites / alertes détectées)

Matrice de confusion (Farafangana + Mananjary)



Sentinel disease notifications

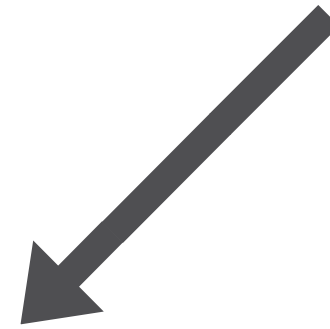
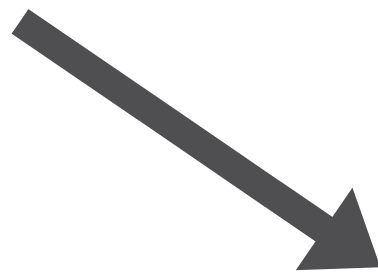


SMS

Satellite weather data



LLINs
IRS

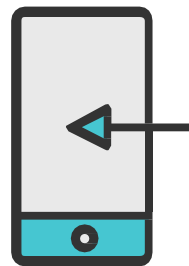


Automatic analysis to detect trends and alerts (outbreak detection)

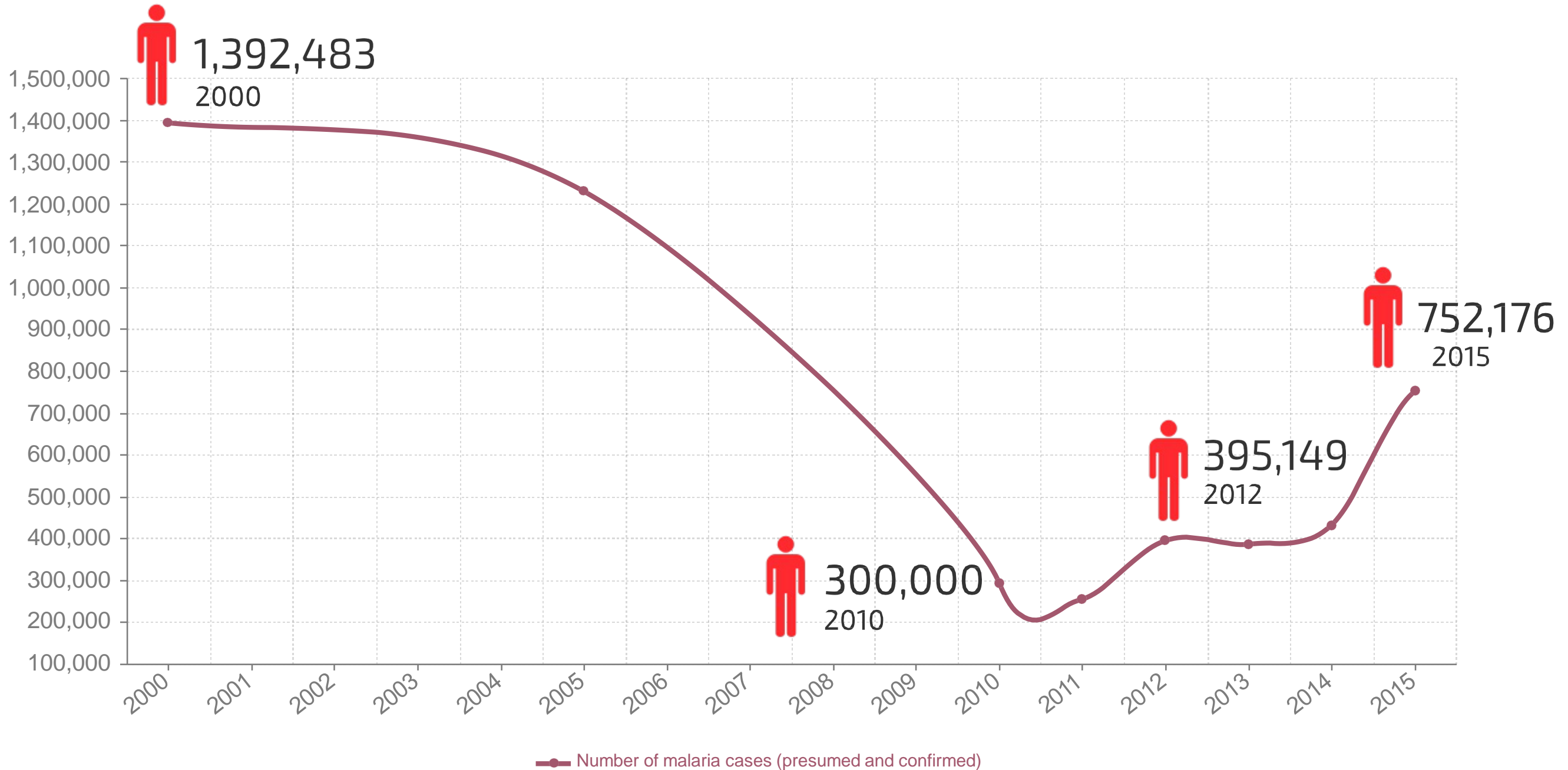
Interactive web interface



Automatic feedback Report sent by SMS

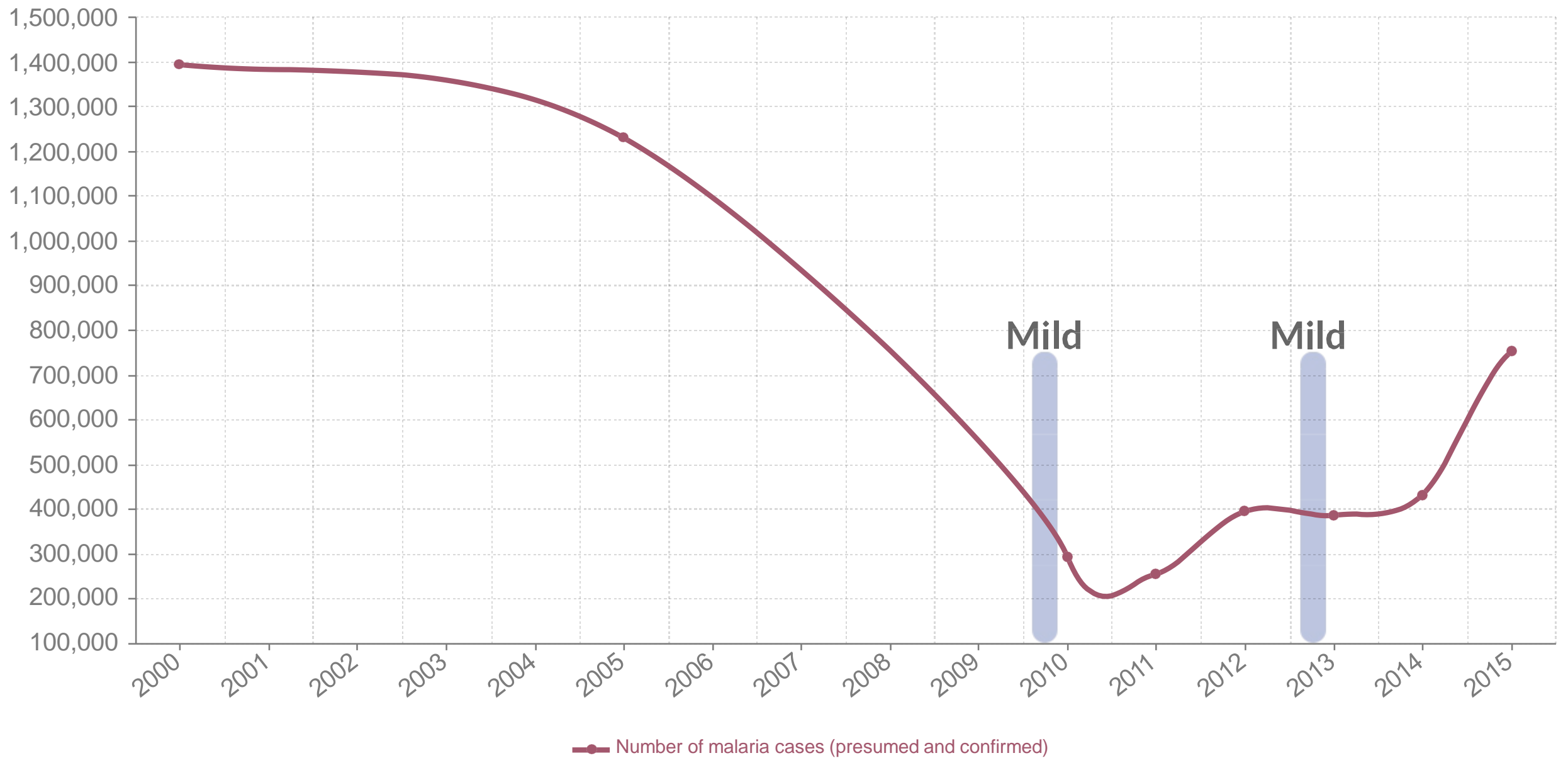


Nombre de cas de paludisme à Madagascar

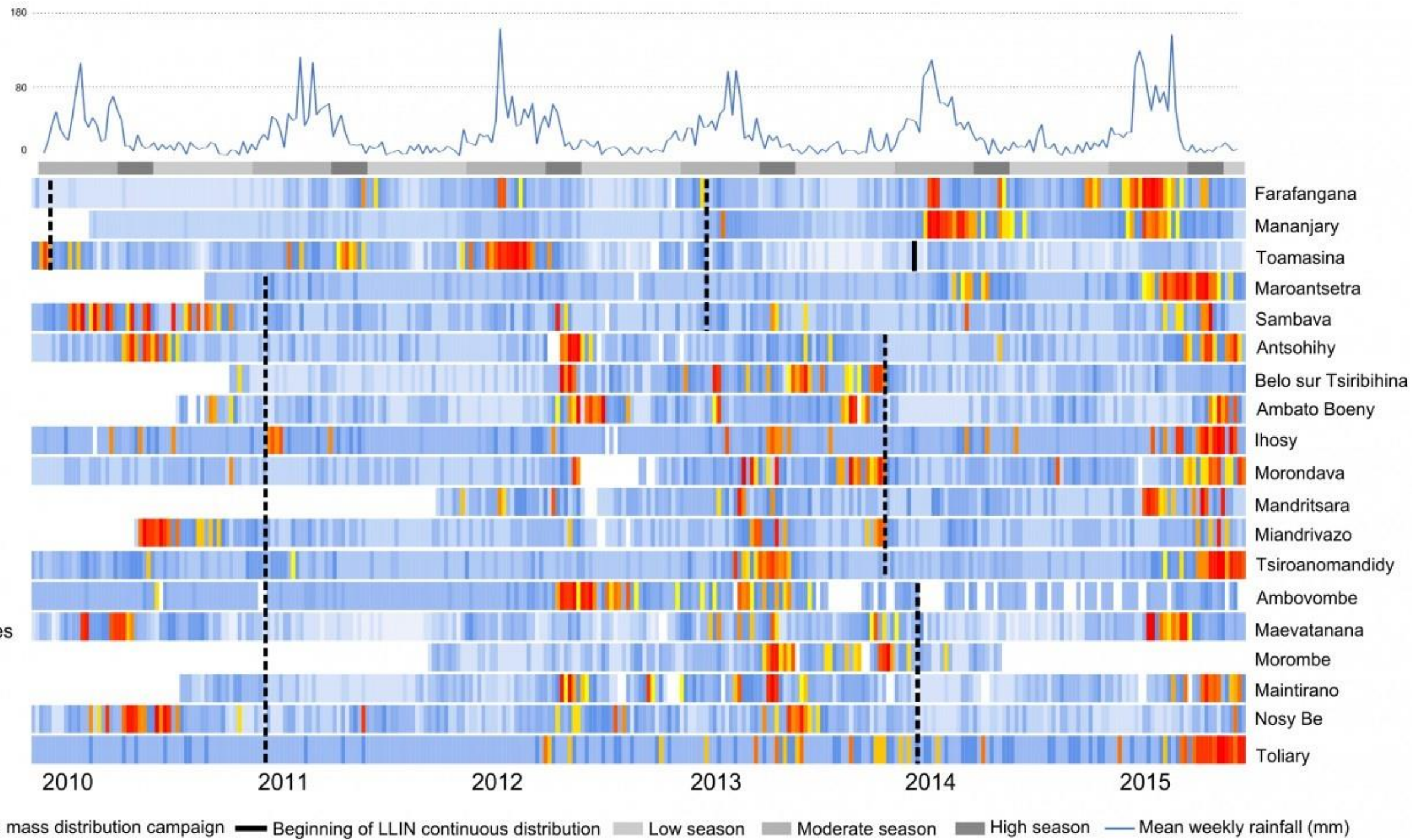


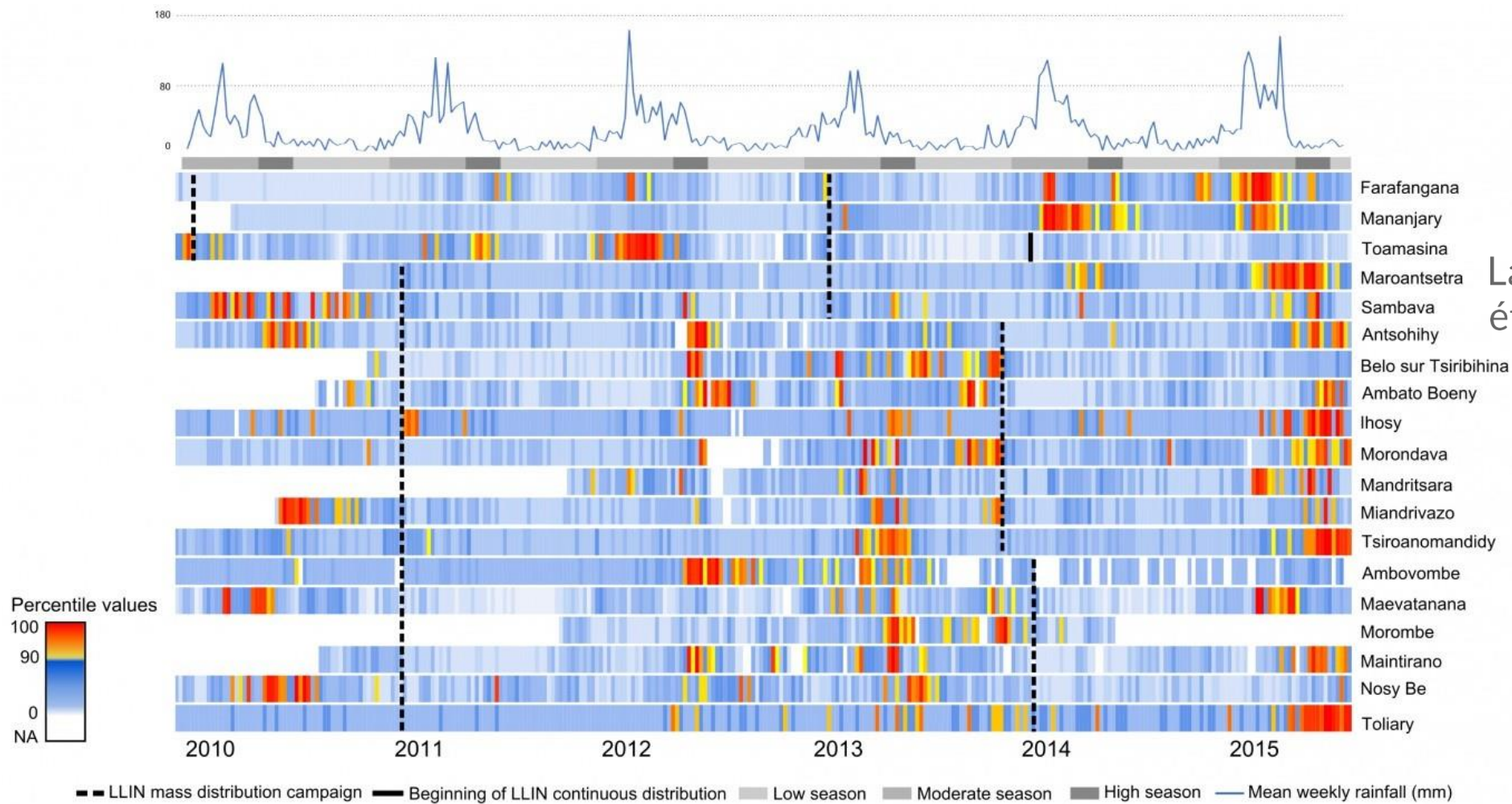
Source: World Malaria Report 2016

Nombre de cas de paludisme à Madagascar



Source: World Malaria Report 2016





La moyenne des valeurs de percentile était de :

50.2 pendant la **première** année

60.4 pendant la **deuxième** année

71.9 pendant la **troisième** année

Analyser la durabilité de l'efficacité réel des campagnes de distribution de masse de moustiquaires

- Un modèle linéaire généralisé : Nombre de cas et périodes post distribution
- Analyser (décrire) le délai entre la distribution de masse moustiquaires et une alerte
- Un modèle linéaire généralisé (logit) : Évaluer le risque d'alerte au cours des périodes post distribution
- Évaluer les effets d'une combinaison d'une distribution de masse de moustiquaire suivi par la mise en place d'une distribution continue sur le site de Toamasina

Nombre de cas et distribution de moustiquaires

Modèle linéaire généralisé

Les séries temporelles du nombre de cas ont été transformées en valeur hebdomadaire de percentile

La période post-distribution divisée en 3 périodes :

- ≤ 52 semaines (référence)
- > 52 semaines et < 104 semaines
- > 104 semaines

Nombre de cas et distribution de moustiquaires

Modèle linéaire généralisé

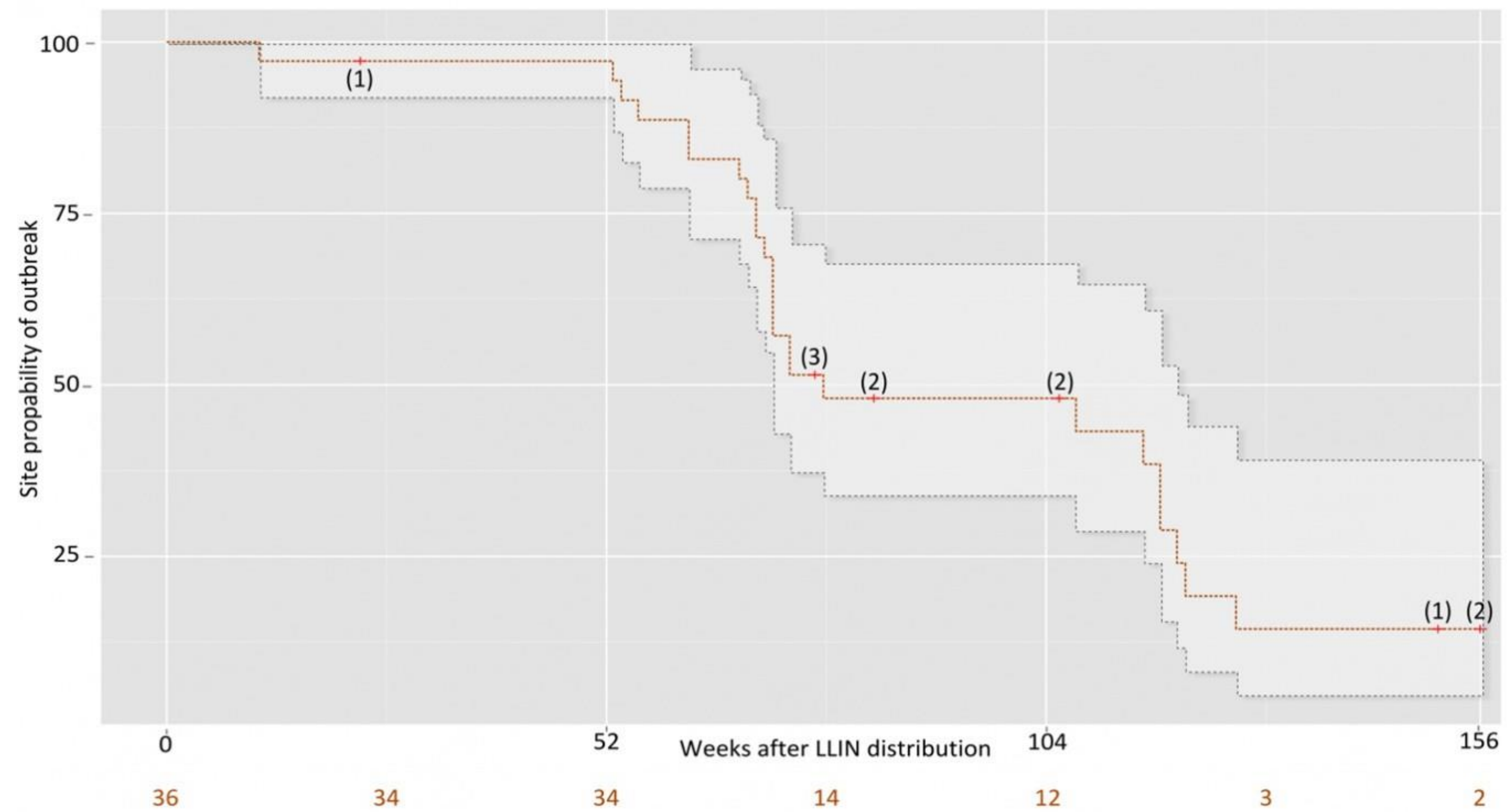
Les séries temporelles du nombre de cas ont été transformées en valeur hebdomadaire de percentile

La période post-distribution divisée en 3 périodes :

- ≤ 52 semaines (référence)
- > 52 semaines et < 104 semaines
- > 104 semaines

Une augmentation de **13.6** points (95%CI [12.1 - 15.1]
p-value < 0.001) au cours de la **deuxième** année suivant la
distribution de moustiquaires

Une augmentation de **21.4** points (95%CI [19.6 - 23.1]
p-value < 0.001) au cours de la **troisième** année suivant la
distribution de moustiquaires



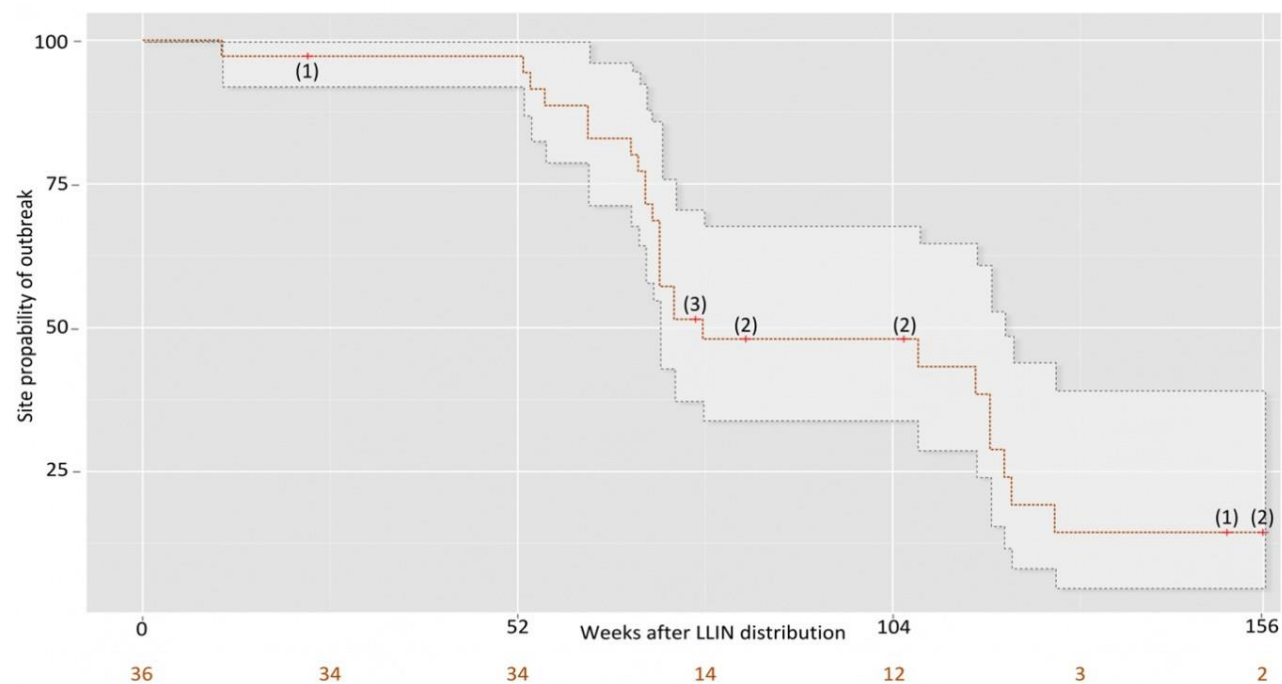
Courbe de survie

1 seul site dépasse le seuil de détection au cours de la **première** année

50% des sites dépassent le seuil au cours de la **deuxième** année

69.4% des sites dépassent le seuil au cours de la **troisième** année

2 sites n'ont dépassé le seuil au cours de la période de suivi



La probabilité de rester sans alerte était de :

98.2 % dans la première année

56.7% dans la seconde année

31.5% dans la troisième année

Nombre de cas et distribution de moustiquaires

Modèle linéaire généralisé (logit function)

Évaluer le risque d'alerte au cours des trois mêmes périodes suivant la distribution

La période post-distribution divisée en 3 périodes :

- ≤ 52 semaines (référence)
- > 52 semaines et < 104 semaines
- > 104 semaines

Nombre de cas et distribution de moustiquaires

Modèle linéaire généralisé (logit function)

Évaluer le risque d'alerte au cours des trois mêmes périodes suivant la distribution

La période post-distribution divisée en 3 périodes :

- ≤ 52 semaines (référence)
- > 52 semaines et < 104 semaines
- > 104 semaines

La probabilité d'alerte était de **36.8** (95%CI [15.4 -120.4])
au cours de la **deuxième** année suivant la distribution de
moustiquaires

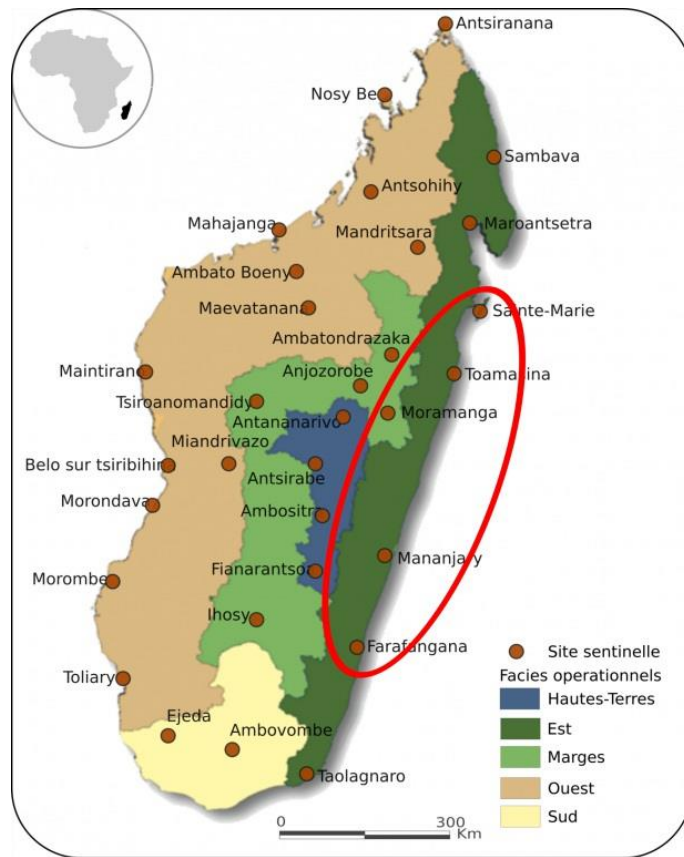
La probabilité d'alerte était de **53.8** (95%CI [22.4 -176.4])
au cours de la **troisième** année suivant la distribution de
moustiquaires

Nombre de cas et distribution de moustiquaires

Modèle linéaire généralisé

Évaluer les effets d'une combinaison d'une distribution de masse de moustiquaire suivi par la mise en place d'une distribution continue.

Janvier 2013 à juin 2014



Nombre de cas et distribution de moustiquaires

Modèle linéaire généralisé

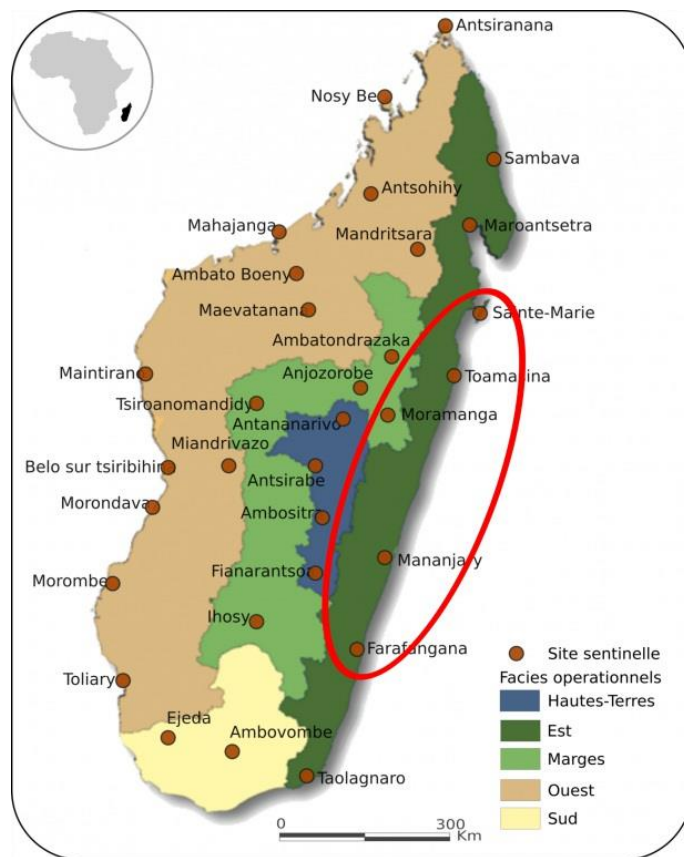
Évaluer les effets d'une combinaison d'une distribution de masse de moustiquaire suivi par la mise en place d'une distribution continue.

Janvier 2013 à Septembre 2013 : ref

Septembre 2013 à Juin 2014

Une **augmentation** de **21.02** points (95%CI [16.4 -25.6] p-value <0.001) au cours de la période étudiée

Une **diminution** de **14** points (95%CI [7.9 -19.9] p-value <0.001) au cours de la période étudiée sur le site de Toamasina



Durabilité limitée de l'efficacité protectrice des campagnes de masse de distribution de moustiquaires

- Approche méthodologique importante pour l'évaluation de la durabilité de l'efficacité (eng. Effectiveness) des mesures de lutte et de contrôle du paludisme.
- Confirmation de l'effet protecteur des campagnes de masse de distribution de moustiquaires
- Durabilité limitée de l'efficacité des campagnes de masse de distribution de moustiquaires en l'absence de processus de distribution continue de moustiquaires (1 an)
- Confirmation de l'effet positif de la combinaison de plusieurs canaux de distribution de moustiquaires
- En l'absence de système de distribution continue, une distribution massive année sur année de moustiquaire est essentielle pour maintenir les gains obtenus

Conclusion/Perspectives

- Mise en place d'un système d'alerte précoce
- Démonstration de sa capacité à détecter des épidémies
- Limite dans l'utilisation de modèle de prédiction de manière prospective et opérationnelle
- La pertinence de l'utilisation des concepts de Mobile-Health
- Générer des hypothèses
- Système ouvre la voie à de nouvelles recherches
- Développement de système plus générique
- Application de la plate-forme web au projet Malaria Elimination 8

Publications

- Florian Girond; Laurence Randrianasolo; Lea Randriamampionona; and al. **Analysing trends and forecasting malaria epidemics in Madagascar using a sentinel surveillance network: a Web-based application.** *Malar J.* 2017;1–11.
- Florian Girond; Laurence Randrianasolo; Lea Randriamampionona; and al. **Evaluating effectiveness of long-lasting insecticidal net mass distributions over time using a sentinel surveillance network: evidence from Madagascar.** Soumission prévue dans *Lancet Global Health*



ELIMINATION 8

ANGOLA • BOTSWANA • MOZAMBIQUE • NAMIBIA
SOUTH AFRICA • SWAZILAND • ZAMBIA • ZIMBABWE



USAID
FROM THE AMERICAN PEOPLE

